



CENTRO DE ENGENHARIA, MODELAGEM E CIÊNCIAS SOCIAIS APLICADAS  
PROGRAMA DE GRADUAÇÃO EM ENGENHARIA DE INSTRUMENTAÇÃO,  
AUTOMAÇÃO E ROBÓTICA

CRISTIANO MORAES BILLACHI AZARIAS, EDUARDO GASQUES MONTEIRO,  
LETICIA CIPRIANO DE SIQUEIRA  
Orientador: Prof. Dr. Mário Gazziro

**RECONSTRUÇÃO DE DIGITAL TWINS UTILIZANDO LIDAR:  
UMA ABORDAGEM PARA A AFERIÇÃO ANTROPOMÉTRICA**

Santo André, SP  
2022

UNIVERSIDADE FEDERAL DO ABC  
CENTRO DE ENGENHARIA, MODELAGEM E CIÊNCIAS SOCIAIS APLICADAS  
PROGRAMA DE GRADUAÇÃO EM ENGENHARIA DE INSTRUMENTAÇÃO,  
AUTOMAÇÃO E ROBÓTICA

CRISTIANO MORAES BILLACHI AZARIAS, EDUARDO GASQUES MONTEIRO,  
LETICIA CIPRIANO DE SIQUEIRA

**RECONSTRUÇÃO DE DIGITAL TWINS UTILIZANDO LIDAR:  
UMA ABORDAGEM PARA A AFERIÇÃO ANTROPOMÉTRICA**

Monografia apresentada ao Curso de Engenharia de Instrumentação, Automação e Robótica da Universidade Federal do ABC como parte dos requisitos necessários para a obtenção do grau de Engenheiro(a) de Controle e Automação.

**Orientador:** Prof. Dr. Mário Gazziro

Santo André, SP  
2022

Cristiano Moraes Billachi Azarias, Eduardo Gasques Monteiro, Leticia  
Cipriano de Siqueira

**RECONSTRUÇÃO DE DIGITAL TWINS UTILIZANDO LIDAR:  
UMA ABORDAGEM PARA A AFERIÇÃO ANTROPOMÉTRICA**

Monografia apresentada ao Curso de Engenharia de  
Instrumentação, Automação e Robótica da Universidade  
Federal do ABC como parte dos requisitos necessários  
para a obtenção do grau em Engenheiro(a) de Controle e  
Automação.

Aprovada em Santo André, 04 de Novembro de 2022.

---

Prof. Dr. Mário Gazziro  
Universidade Federal do ABC  
Orientador

---

Prof. Dr. Agnaldo Aparecido Freschi  
Universidade Federal do ABC - UFABC  
Examinador

*Dedicamos esse trabalho às nossas famílias sejam elas as de sangue ou as adquiridas ao longo de nossas vidas.*

# Agradecimentos

Agradecemos a todos os amigos e professores que tornaram possível a realização do curso.

Todas as vitórias ocultam uma abdicação. (Simone de Beauvoir)

# Resumo

O presente projeto procurou desenvolver um escâner tridimensional afim de obter um gêmeo digital (*digital twin*), ou seja, uma réplica virtual do corpo sendo escaneado. Para isso, foi utilizado um sensor LiDAR fixo integrado a uma plataforma giratória. Os dados obtidos pelo sensor foram compilados de forma a unificar todos os registros em uma única malha de pontos. Essa malha então foi tratada para remover ruídos e por fim reconstruída para gerar um modelo digital, reparado via algoritmo *Alpha Shapes*.

Com o objetivo de desenvolver uma forma fácil, acessível e precisa de escanear uma pessoa, consolidamos essa ideia para contribuir com os avanços da área. No entanto, com as diversas limitações encontradas ao longo dos testes realizados para se obter o modelo, constatou-se que o sensor escolhido é falho em captar detalhes, além de ter limitações relacionadas às cores nas superfícies escaneadas.

**Palavras-chave:** Escaneamento 3D. Modelagem. Medidas. Gêmeo Digital. Digital Twin. LiDAR. Plataforma giratória.

# Abstract

The following project aims to develop a three-dimensional scanner to recreate a digital twin, i.e., a virtual copy of a scanned body. We used a standing-still LiDAR sensor attached to a rotating platform to achieve this goal. The sampled data were compiled and unified into a single point cloud. This point cloud, afterwards, had its outliers removed and then reconstructed into an ordered and integrated mesh using an Alpha Shape reconstruction.

Our broader goal was to develop an easy, accessible and accurate way to scan a person and also contribute to advances in the area. However, we faced some limitations during the testing phases. These limitations were primarily due to the sensor used once they were failures while recording the data, and the lack of information for some surface colours.

**Keywords:** 3D Scanning, Modeling, Measurements, Digital Twin, LiDAR, Rotating Platform.

# Lista de Ilustrações

Figura 2.1 – Arquitetura LiDAR . . . . .	4
Figura 2.2 – FOV - Field of View, a) visão frontal; b)visão lateral . . . . .	4
Figura 2.3 – Pinhole Model . . . . .	6
Figura 2.4 – Processo de obtenção de malha 3D . . . . .	7
Figura 2.5 – Ball Pivoting . . . . .	8
Figura 2.6 – Alpha shapes . . . . .	8
Figura 2.7 – Reconstrução de superfície de Poisson . . . . .	9
Figura 2.8 – Esquema simplificado de uma ponte H . . . . .	10
Figura 2.9 – Tipos de PWM com duty cycle associado . . . . .	11
Figura 2.10–Diagrama funcional do <i>encoder</i> absoluto AS5040 . . . . .	12
Figura 2.11–Efeito de um filtro passa-baixa . . . . .	15
Figura 3.1 – Plataforma giratória utilizada na rotação dos indivíduos durante o escaneamento. . . . .	16
Figura 3.2 – Protocolo de aferição de posição angular. . . . .	17
Figura 3.3 – Comunicação serial e implementação do protocolo de comunicação . . . . .	21
Figura 3.4 – Protocolo com envio de dado único . . . . .	22
Figura 3.5 – Campo de visão do LiDAR . . . . .	23
Figura 3.6 – Posicionamento inicial da plataforma e suporte do LiDAR e a clausura . . . . .	24
Figura 3.7 – Exemplificação do processo de escaneamento . . . . .	25
Figura 3.8 – Tratamento de Outliers . . . . .	26
Figura 3.9 – Alinhamento Nuvem de Pontos . . . . .	27
Figura 3.10–Nuvem de pontos com agrupamento de dez vistas distintas . . . . .	28
Figura 3.11–Resultado do alinhamento após união das 5 nuvens . . . . .	29
Figura 3.12–Nuvem de pontos final utilizada no trabalho . . . . .	29
Figura 3.13–Reconstrução da malha utilizando <i>Alpha Shapes</i> . . . . .	30
Figura 3.14–Reconstrução da malha utilizando <i>Ball Pivoting</i> . . . . .	30
Figura 4.1 – Problema com Escaneamento - Roupa . . . . .	32
Figura 4.2 – Problema com Escaneamento - Superfície . . . . .	33
Figura 4.3 – Problema com Escaneamento - Pele . . . . .	34
Figura 4.4 – Reconstrução da malha utilizando <i>Alpha Shapes</i> . . . . .	34

# Lista de Tabelas

Tabela 2.1 – Efeito dos Parâmetros em um sistema . . . . .	13
--	----

# Lista de Abreviaturas e Siglas

1D	Unidimensional
2D	Bidimensional
3D	Tridimensional
CI	Circuito Integrado
CLK	Clock
CSn	Chip Serial Number
DC	Direct Current
DO	Dados
FOV	Field Of View
FPS	Frames por segundo
GPIO	General Purpose Input/Output
Hz	Hertz
ICP	Iterative Closest Point
Kd	Ganho derivativo
Ki	Ganho integral
Kp	Ganho proporcional
LIDAR	Light Detection And Ranging
MHz	Mega Hertz
PCB	Printed Circuit Board
PID	Proporcional, Integral, Derivativo
PoP	Package on Package
PWM	Pulse Width Modulation
RAM	Random Access Memory
SoC	System on Chip

ToF            Time of Flight

USB            Universal Serial Bus

# Sumário

<b>1</b>	<b>Introdução</b>	<b>1</b>
1.1	Justificativa	1
1.2	Objetivos	1
1.3	Contextualização	2
<b>2</b>	<b>Revisão Bibliográfica</b>	<b>3</b>
2.1	Trabalhos Relacionados	3
2.2	Fundamentação Teórica	3
2.2.1	Sensores ToF	3
2.2.2	LiDAR	3
2.2.3	Escaneamento 3D	4
2.2.4	Triangulação	5
2.2.5	Nuvem de pontos	6
2.2.6	Malha	6
2.2.7	Reconstrução da Malha	7
2.2.7.1	Ball Pivoting	7
2.2.7.2	Alpha Shapes	7
2.2.7.3	Reconstrução de Poisson	8
2.2.8	Motor DC	9
2.2.9	Ponte H	9
2.2.10	Transdutores de Posição Angular	10
2.2.11	Placa de Desenvolvimento e Microncontrolador	11
2.2.12	Controle	12
2.2.13	Filtros Digitais	14
<b>3</b>	<b>Métodos</b>	<b>16</b>
3.1	Plataforma giratória	16
3.1.1	Aferição da Posição Angular	17
3.1.2	Processamento Paralelo	18
3.1.3	Controle de Velocidade	18
3.1.4	Filtro Passa Baixas	19
3.1.5	Comunicação Serial	20
3.2	Escaneamento	22
3.2.1	Posicionamento Adequado	22
3.2.2	Amostragem dos Dados	24
3.3	Processamento dos Dados	25
3.3.1	Remoção de Ruídos da Aquisição	25
3.3.2	Alinhamento da Nuvem de Pontos	26

3.3.3 Malha . . . . .	29
<b>4 Resultados e Discussão . . . . .</b>	<b>32</b>
<b>5 Conclusão . . . . .</b>	<b>35</b>
<b>Apêndices . . . . .</b>	<b>36</b>
<b>APÊNDICE A Código Arduino . . . . .</b>	<b>37</b>
<b>APÊNDICE B Python - Aquisição . . . . .</b>	<b>64</b>
<b>APÊNDICE C Python - Processamento . . . . .</b>	<b>67</b>
<b>Referências . . . . .</b>	<b>71</b>

# 1 Introdução

## 1.1 Justificativa

Um *digital twin* (do inglês, gêmeo digital) é definido como a réplica virtual de um produto, sistema ou ser vivo que são continuamente atualizados com dados de sua contraparte física, bem como do ambiente no qual está inserido. Ele é o elo entre o mundo virtual e as entidades físicas e, por isso é considerado um dos pilares da Indústria 4.0 e, segundo [Jiang et al. \(2021\)](#), é a força motriz para futuras inovações.

Embora o uso desse tipo de tecnologia já venha sendo difundido, ele ainda é limitado à empresas de grande porte. Nessas empresas, o gêmeo virtual dos sistemas físicos é utilizada para fazer previsões sobre condições adversas de funcionamento, testes de colisão e de aerodinâmica, para citar alguns exemplos de aplicações. Além disso, essa tecnologia também vem sendo implementada por companhias cinematográficas e de efeitos visuais com auxílio de câmeras e sensores do tipo LiDAR ToF, que possibilitam a reconstrução de forma quase instantânea e com alta precisão do ambiente e objetos.

O presente projeto propõe desenvolver um método de escaneamento 3D utilizando um sensor ToF do tipo LIDAR e, com isso, promover o avanço na tecnologia de escâneres 3D. Atualmente, estes sensores vem se mostrando bons ao detectar objetos com alta fidelidade e de forma robusta, permitindo que veículos autônomos possam navegar ([LI; IBANEZ-GUZMAN, 2020](#)), auxiliando na caracterização de plantações ([CANATA; MOLIN; SOUSA, 2019](#)) e, mais atualmente, no emprego de escâneres.

O objeto para escaneamento escolhido foi o corpo humano para que dessa forma, cada pessoa tenha suas medidas tiradas com precisão, auxiliando assim na escolha de tamanhos em compras on-line e na fabricação de roupas, por exemplo. Tendo em vista o potencial de alta fidelidade e a robustez nas medições, podemos obter cópias digitais de boa resolução a um baixo custo. Assim, de forma pragmática, também há um grande potencial desse tipo de tecnologia nas áreas de engenharia de produto, prototipagem rápida e na confecção de próteses médicas de áreas grandes ou pequenas.

## 1.2 Objetivos

O objetivo do projeto é desenvolver um método de aquisição baseado no escaneamento com o sensor LiDAR para obter um modelo 3D com medidas fiéis de uma pessoa. A motivação principal deste objetivo sendo de que esse método possa ser utilizado em um provedor de roupas virtual, em que uma pessoa possa ter um modelo do próprio corpo e com ele poder experimentar

roupas virtualmente. O presente trabalho foi pensado para auxiliar no desenvolvimento desta tecnologia, para com o passar dos anos e mais esforços como o do grupo, o escaneamento de pessoas possa se tornar mais acessível e confiável.

Dos objetivos específicos, destacam-se três: o desenvolvimento do controle da plataforma, a aquisição dos dados e reconstrução da malha a partir das nuvens de pontos obtidas pelo sensor. Em relação à plataforma giratória, desejamos que seu movimento seja suave o suficiente e contínuo para que o usuário não fique incomodado. Na aquisição de dados, desejamos que o LIDAR e a plataforma tenham os dados integrados de maneira robusta e precisa. Por fim, findada a aquisição, buscamos reconstruir a nuvem de pontos compilada na forma de uma malha tridimensional suave e com detalhes suficientes para a obtenção de medidas corporais.

### 1.3 Contextualização

O uso do escaneamento para tirar medidas do corpo de pessoas tem se tornado cada vez mais popular, seja para usos médicos e até mesmo estéticos. Com essas medidas, pode-se calcular o índice corporal de gordura, fazer levantamento de medidas morfológicas ou, até mesmo, para se ter medidas mais acuradas na hora de comprar vestimentas.

Ao se comprar roupas, uma grande dificuldade é a incerteza se as medições apresentadas são compatíveis com a da peça apresentada, e com o crescimento da modalidade de compra online, tal problema vem afetando cada vez mais pessoas. Esse problema é uma consequência da forma como a indústria de vestimentas funciona, o modelo de fabricação é baseado em um formato de corpo como modelo e tendo-se variações de tamanho respeitando a mesma proporção, o que gera roupas que não correspondem ao biotipo da maioria das pessoas.

De acordo com [Madureira \(2021\)](#), estão sendo incluídos outros dois biotipos na norma que rege tamanhos de roupas femininas, devido a grande problemática gerada por usar padrões de corpo que não correspondem a realidade demográfica brasileira. De acordo com a matéria também se pode confirmar o incentivo de empresas no ramo de escaneamento 3D para se garantir um melhor aferimento dessas medidas.

A escolha do escâner tipo ToF LiDAR foi motivada pela sua popularidade e famigerada robustez na detecção de objetos. Sendo esta a principal característica pela qual esse tipo de dispositivo encontra-se em satélites, carros autônomos e drones. Além disso, recentemente, o mesmo encontra-se também presente *smartphones* de alto padrão sendo utilizado em recursos de realidade aumentada e melhor autofocus nas câmeras.

## 2 Revisão Bibliográfica

### 2.1 Trabalhos Relacionados

Lançamos mão de alguns trabalhos como o de [Franca et al. \(2005\)](#) para compor a fundamentação teórica do nosso trabalho. Nele, são apresentados métodos mais efetivos de se usar a triangulação com lasers no escaneamento 3D, afim de se obter imagens de alta resolução, em diferentes ângulos, profundidade e cores. Ainda, de acordo com os pesquisadores, pode-se usar a triangulação integrada a um *encoder*, um laser e uma câmera.

### 2.2 Fundamentação Teórica

#### 2.2.1 Sensores ToF

Um sensor ToF (*Time of Flight*, do inglês, Tempo de Vôo) funciona calculando o tempo gasto por um laser emitido pelo sensor chegar a superfície e voltar para o mesmo. Esse tipo de sensor faz uso de raios de infravermelho o que traz os benefícios de poder operar em ambientes com pouca luz e sem a interferência da luz visível ([FREEDMAN et al., 2014](#)).

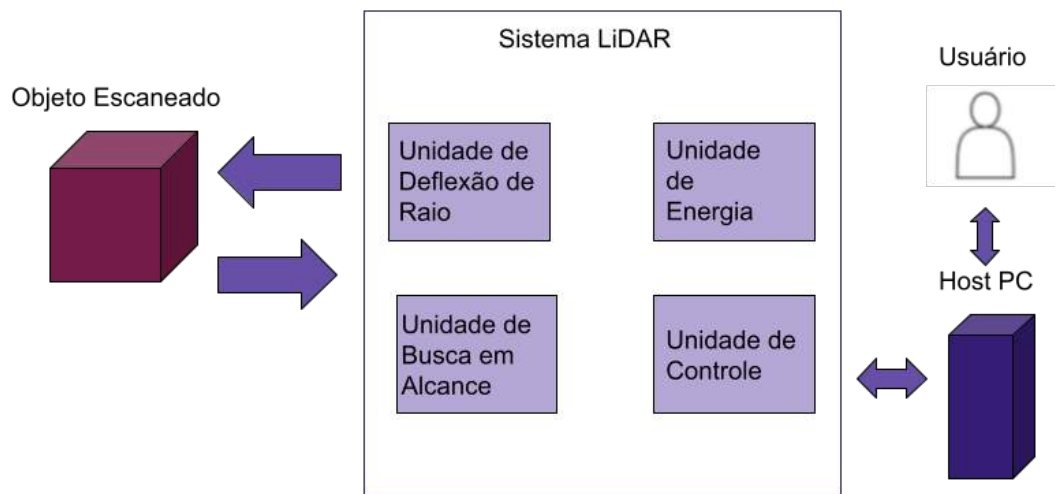
#### 2.2.2 LiDAR

Um dispositivo LiDAR é composto por vários sub-sistemas que variam de instrumento para instrumento, mas, como base, todos tem uma unidade de busca de alcance, uma unidade de controle, uma unidade de energia e uma unidade de deflexão de raio, sendo essa um diferencial que não está presente nos leitores de apenas 1D. A arquitetura básica de um LiDAR pode ser vista na Fig 2.1.

A unidade de busca em alcance é a chave para um sistema LiDAR, que contém os componentes responsáveis por gerar, transmitir e receber os pulsos de laser. Esses componentes são normalmente um diodo laser, um fotodiodo e um amplificador de trans-impedância (TIA). o unidade de controle é responsável por realizar um processamento do sinal, controle dos sinais gerados e estabelecer comunicação com um computador. A unidade de energia tem como função suprir a necessidade energética do LiDAR e o design dessa unidade varia de acordo com a tensão e corrente necessárias. Por fim, a unidade de deflexão de raio é responsável pela aquisição de informação espacial. Ela é a principal diferença entre os escâner unidimensionais, bidimensionais ou tridimensionais de acordo com a quantidade de dados que pode captar ([RAJ et al., 2020](#)).

Em função da característica ativa desses sensores, existem algumas especificações que devem ser seguidas. Podemos elencar, por exemplo, a distância dado que existe um intervalo

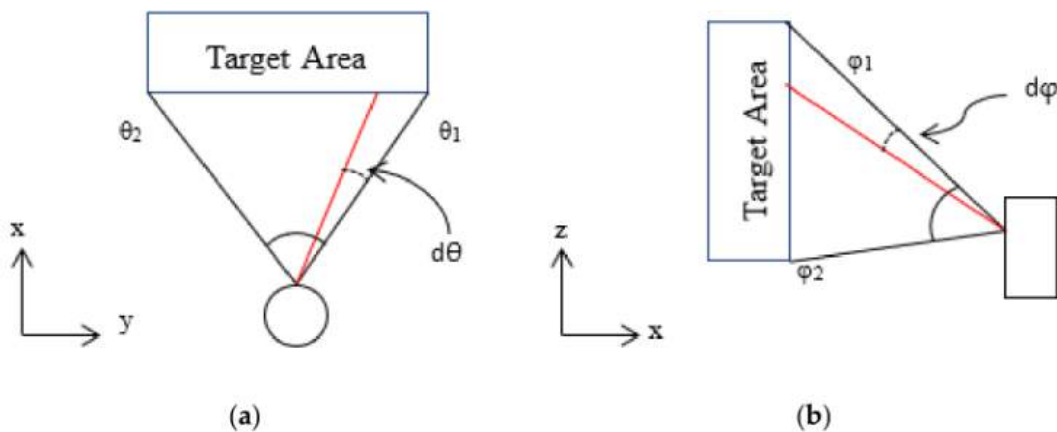
Figura 2.1 – Arquitetura LiDAR



Fonte: Adaptado de Raj et al. (2020)

mínimo para que a leitura tenha uma boa resolução. Considerando isso, pode-se chegar em uma das principais variáveis consideradas nesse trabalho que é área capturada pelo LiDAR, ou FOV (*field of view*, do inglês, campo de visão). Como podemos ver na Fig. 2.2, o ângulo máximo de captação do sensor define a área útil e o cone de captação discutidos na seção 3

Figura 2.2 – FOV - Field of View, a) visão frontal; b)visão lateral



Fonte: Raj et al. (2020)

### 2.2.3 Escaneamento 3D

O escaneamento 3D via laser é uma tecnologia que permite a obtenção de nuvens de pontos a partir da varredura das superfícies dos objetos por feixes de raios laser, permitindo a captura automática de uma grande quantidade de dados em um curto período de tempo (GROE-TELAARS; AMORÍN, 2011).

Existem métodos e técnicas usados para tornar o escaneamento possível, sendo esses métodos o escaneamento ativo e passivo. No escaneamento passivo, o sensor não emite iluminação, ao invés disso se utiliza da luz ambiente. Escâneres ópticos que não exigem contato podem ser agrupados de acordo com a iluminação controlada necessária para o seu funcionamento (TAUBIN; MORENO; LANMAN, 2014).

Um exemplo de escâner passivo muito utilizado é o de imagens estereoscópicas. Ele estima a posição de uma cena em 3 dimensões usando triangulação. Nesse método, as câmeras identificam a projeção 2D dos pontos usando objetos de calibração conhecidos, com o posicionamento calibrado de forma a ajudar, a geração de imagens de cada câmera é estimada, utilizando uma única linha em 3 dimensões "desenhada" entre o centro de cada projeção das câmeras por meio desse ponto. Com o encontro dessas linhas se pode encontrar a profundidade dos pontos.

Um grande impedimento deste método é a obrigatoriedade de uma referência, ou um objeto correspondente, por isso existem diversas alternativas podem ser usadas para tentar contornar essa situação, sendo inclusive usados diversos algoritmos, em muitos casos sendo necessário algoritmos de visão computacional mais robustos, e em situações controladas, como quando se tem o ambiente conhecido, e objetos identificados.

Como uma solução para o problema de correspondência vinda dos sensores passivos, existem os escâneres ativos. Em comparação com o método visto anteriormente, neste método se tem uma fonte de iluminação ativa, sendo esta muito mais sensível para reconhecer a superfície dos objetos escaneados. Mesmo assim, ainda existem objetos muito refletivos ou translúcidos que necessitam de medidas adicionais (TAUBIN; MORENO; LANMAN, 2014).

Para se realizar o escaneamento ativo pode-se usar uma fonte de luz como um laser em movimento, mas tal técnica é dispensável com o uso de um projetor de luz estruturada, que consegue direcionar a luz em toda a superfície. Com o avanço desses métodos é possível a realização do escaneamento com sensores de luz estruturada como a presente no trabalho.

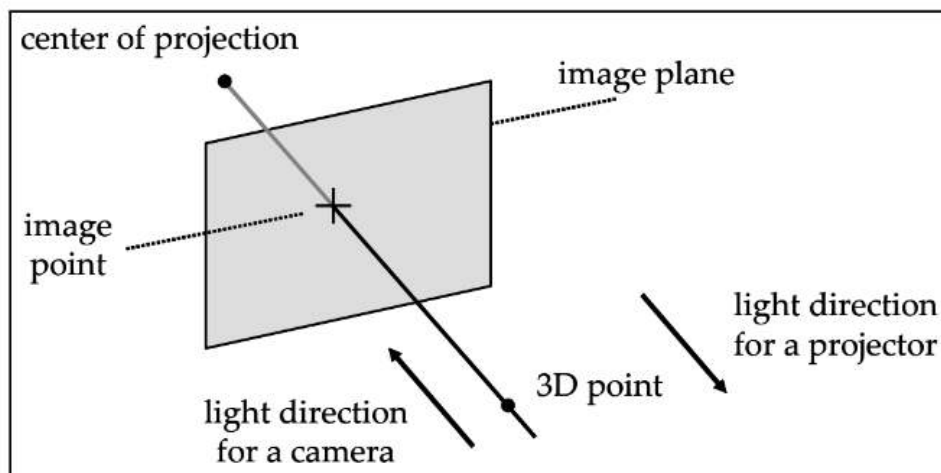
#### 2.2.4 Triangulação

A triangulação para escaneamento representa o alinhamento de câmeras e fontes de luz de forma a se ter uma visão em 3 dimensões do objeto escaneado. Sendo que a triangulação pode ser feita com câmeras, ou como no caso do presente trabalho, com laser. O objetivo é obter as coordenadas tridimensionais do objeto.

Existem diversos métodos de triangulação. Um meio bem conhecido e simples, é o "Pinhole Model". Esse modelo é composto por um plano e um ponto externo a ele. Este plano é referenciado como sendo o plano da imagem, e o ponto como centro da projeção, como é possível ver na Fig. 2.3.

Em uma câmera, todos os pontos em 3 dimensões, exceto o centro de projeção, criam uma linha única que passa pelo centro de projeção, e que caso não seja paralela ao plano da

Figura 2.3 – Pinhole Model



Fonte: Taubin, Moreno e Lanman (2014)

imagem, deve interceptar o plano em um único ponto. Para resumir a luz percorre o caminho indo de um projetor até uma câmera, ao longo de uma linha que conecta o ponto em três dimensões com a perspectiva em 2D projetada no centro do plano da imagem (TAUBIN; MORENO; LANMAN, 2014). Um exemplo de triangulação pode ser visto no trabalho de Franca et al. (2005) no qual se faz uso de um encoder, uma câmera e um laser para se ter três pontos do objeto escaneado.

### 2.2.5 Nuvem de pontos

O modelo geométrico da nuvem de pontos é a representação mais básica obtida diretamente pelo escâner 3D. Cada ponto que forma a nuvem de pontos é representado por suas coordenadas cartesianas  $(x, y, z)$  e um ou mais atributos associados ao mesmo (GROETELARS; AMORÍN, 2011).

O registro dos dados consiste em posicionar várias cenas, ou imagens coletadas pelo sensor, em único arquivo com o mesmo referencial. E então, com a associação das  $n$  imagens, com área de sobreposição acima de 30%, realizar operações para otimizar as nuvens. As operações consistem em fazer filtragem dos pontos relevantes e re-amostragem, eliminando informações redundantes.

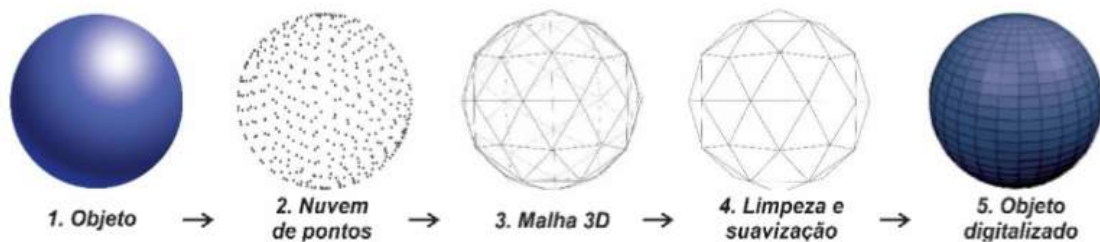
### 2.2.6 Malha

Ao unirmos os pontos de uma nuvem de maneira coesa e coerente, obtemos um objeto que pode ser manipulada de acordo com o que se pretende analisar. No geral, definimos uma malha como uma matriz de conexões que compõe um grafo. Neste caso, as coordenadas desses

nós são obtidas através do escaneamento, e as conexões através de algoritmos de reconstrução que estimam as conexões entre os nós.

O processo de obtenção de um objeto tridimensional consiste em duas etapas: no processamento da nuvem de pontos em uma rede de conexões, i.e., uma malha tridimensional, e no pós-processamento dessa malha bruta onde serão feitas suavizações, preenchimento de buracos, e eventuais decimações ou sobreamostragens. O processo de confecção da malha 3D pode ser visto na Fig. 2.4.

Figura 2.4 – Processo de obtenção de malha 3D



Fonte: (SIERRA; OKIMOTO, 2021)

A qualidade final do escaneamento é influenciada por diversos fatores, indo desde a qualidade do sensor usado, da precisão dele e tecnologia usada, além de fatores de hardware, cenário usado e protocolo de coleta (SIERRA; OKIMOTO, 2021). Por esses e outros fatores, a malha escaneada sempre irá apresentar algum tipo de erro, sendo pequeno ou não. Por isso existem diversas técnicas para esse processo de limpeza.

## 2.2.7 Reconstrução da Malha

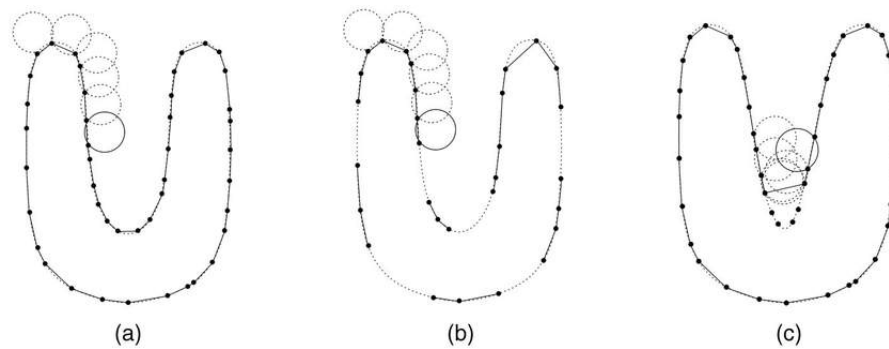
### 2.2.7.1 Ball Pivoting

Ball Pivoting é um algoritmo que reconstrói a superfície de uma malha triangular a partir de um conjunto de pontos dispersos em 3 dimensões. Para entender como funciona o algoritmo devemos pensar em uma amostra  $P$  que esta em uma superfície de um objeto 3D  $M$ . Ele reconstrói  $M$  a partir de  $P$ , desde que  $P$  seja suficientemente densa, com a condição de que a bola-r não pode passar por  $P$  sem tocar 3 pontos. O início do algoritmo se inicia usando essa bola em contato com três pontos, e a bola é rotacionada em torno de 2 desses três pontos, de forma que se fique em contato com dois pontos e se rotacione em torno do eixo que eles formam até que se toque outro ponto (DIGNE, 2014).

### 2.2.7.2 Alpha Shapes

O algoritmo Alpha shapes é um subsequência da "triangulação de Delaunay" que tem como objetivo conectar pontos ao seus vizinhos mais próximos, mas o Alpha Shapes além disso

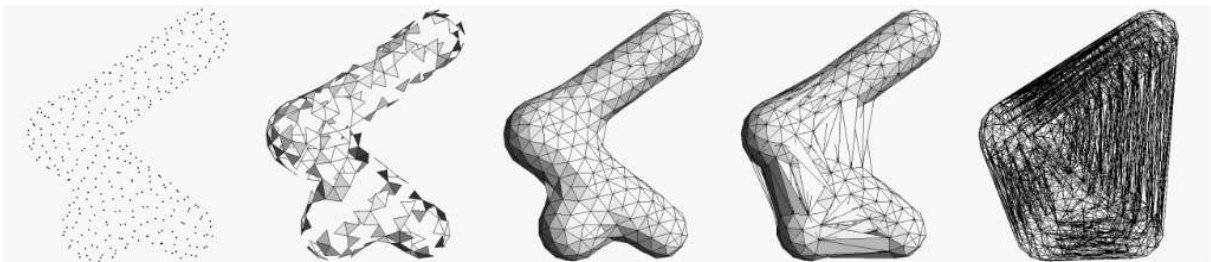
Figura 2.5 – Ball Pivoting



Fonte: Digne (2014)

cria triângulos para produzir uma tetraedrização completa do espaço. O método pode ser usado para reconstruir a superfície de um polígono usando como entrada um conjunto de amostras pontuais. Isso pois ele usa distancia entre os pontos para criar triângulos, conectando esses pontos (TEICHMANN; CAPPS, 1998). O uso do algoritmo pode ser visto na ??.

Figura 2.6 – Alpha shapes



Fonte: Teichmann e Capps (1998)

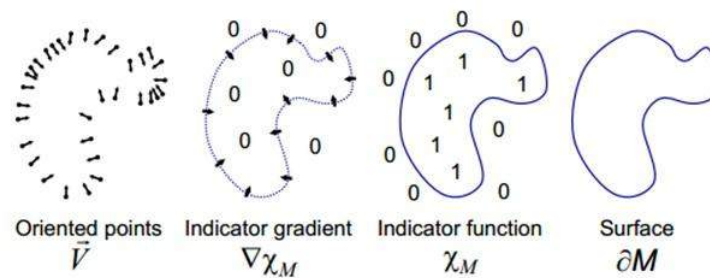
Algumas desvantagens de se usar este algoritmo são que existem algumas limitações, como quando se há intersecções, juntas, ou ainda quando dois objetos distintos estão próximos um do outro, sendo assim necessário utilizar alguma outra técnica unida a esse algoritmo.

### 2.2.7.3 Reconstrução de Poisson

Para a reconstrução de superfície de Poisson se usa um grupo de pontos orientados, de forma que se obtenha o gradiente, uma função e então a reconstrução da superfície. É um ótimo algoritmo a ser usado quando se tem os pontos vindos de uma única fonte, como é o caso do sensor usado.

No entanto, o problema com usar esse algoritmo é que existe um parâmetro chave que deve ser usado para a reconstrução, variando de uma superfície perfeita para uma muito suavizada. (KAZHDAN; BOLITHO; HOPPE, 2006)

Figura 2.7 – Reconstrução de superfície de Poisson



Fonte: Kazhdan, Bolitho e Hoppe (2006)

### 2.2.8 Motor DC

Os motores que funcionam a corrente contínua, ou DC, são os mais comuns quando se quer transformar energia elétrica em energia mecânica. Um motor DC é constituído por duas partes, o Rotor ou Armadura, que é uma parte móvel girante, montada sobre o eixo da máquina, feita de um material ferromagnético envolto em um enrolamento chamado de enrolamento de armadura.

A outra parte é fixa e, por sua vez, chamada de Campo ou Estator. Este é montado em volta do rotor, de forma que o mesmo possa girar internamente. Também constituído de material ferromagnético envolto em um enrolamento chamado de enrolamento de campo, que tem a função de produzir um campo magnético fixo para interagir com o campo da armadura. As principais características do motor são a sua tensão nominal, corrente nominal, potência, binário e velocidade. Velocidade essa que varia de forma proporcional com a tensão de alimentação (MATOS, 2008).

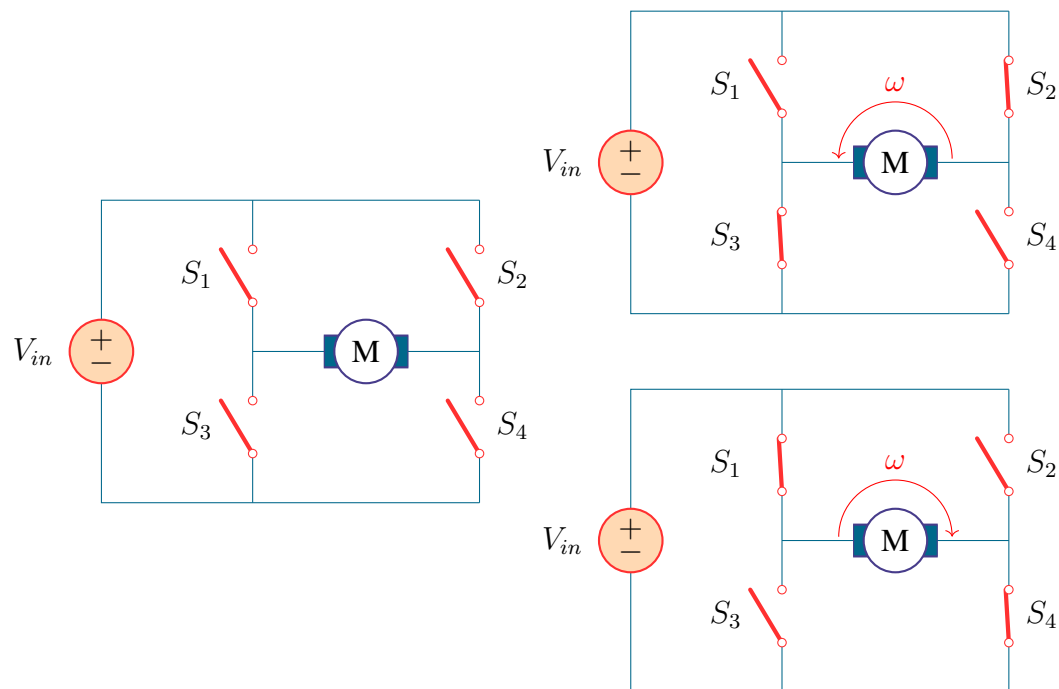
### 2.2.9 Ponte H

A ponte H é um circuito utilizado tanto para controlar o sentido de rotação de um motor DC, quanto a sua velocidade. Como a tensão e corrente solicitadas pelo motor são muito mais altas que as suportadas pelo microcontrolador nós o utilizamos somente para chavear digitalmente o acionamento do motor.

Na Fig 2.8 podemos ver o diagrama simplificado de acionamento da ponte H. Ao acionarmos os pares de chaves  $S_1$  e  $S_4$  permitimos que a corrente flua através do motor acionando-o em um sentido. De maneira análoga, ao acionarmos  $S_2$  e  $S_3$  o sentido da corrente se altera fazendo com que o sentido de rotação se inverta. As demais combinações de pares de chaves não acionarão o motor, uma vez que a corrente não fluirá pelo motor.

Para o controle da velocidade devemos variar a tensão aplicada no rotor do motor. Embora a simples sobretensão ou subtensão aumente ou diminua a velocidade, respectivamente, tensões diferentes da nominal levarão a um desgaste acelerado do componente até que ocorra

Figura 2.8 – Esquema simplificado de uma ponte H



Fonte: Autoria Própria

a falha. Dessa forma, uma solução é aplicar um PWM (*pulse with modulation*, do inglês, pulso com modulação) onde a tensão média fornecida ao motor irá variar alterando assim a sua velocidade.

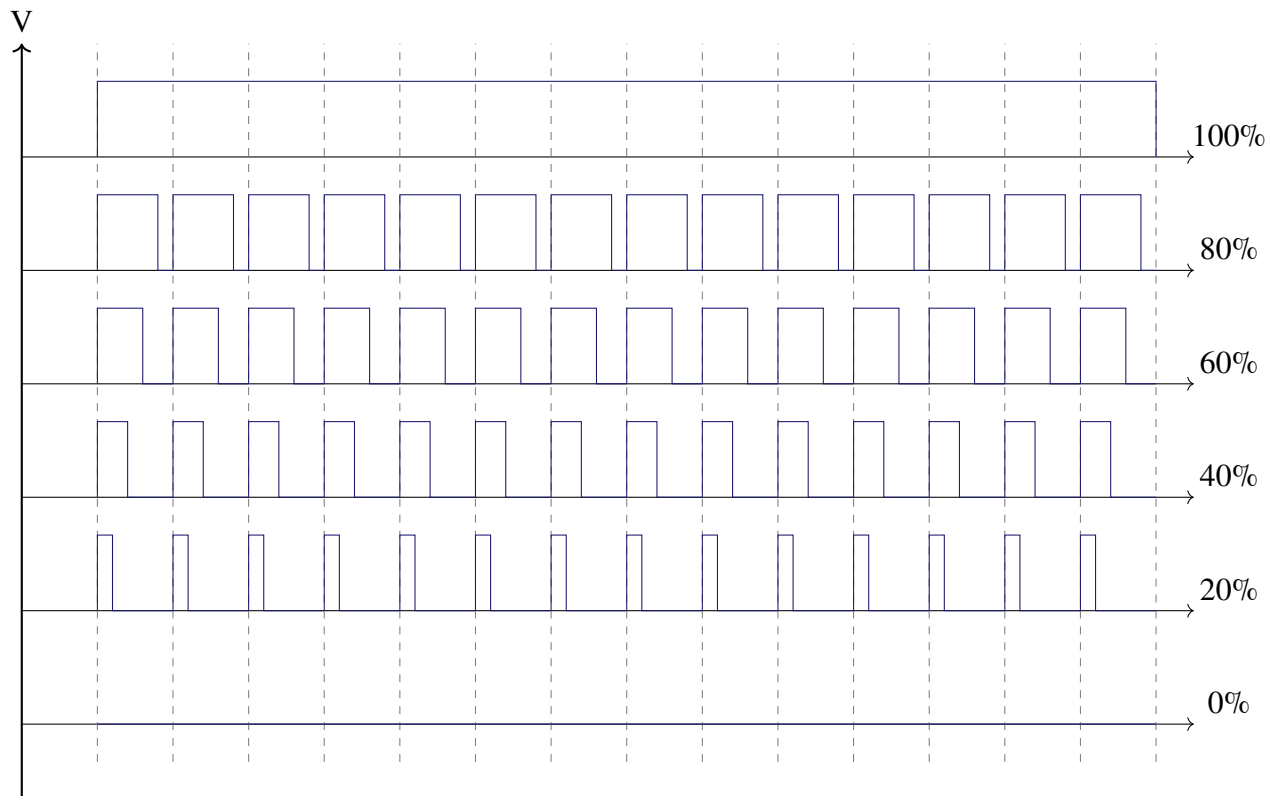
Um PWM é definido pelo seu *duty cycle* (ciclo de trabalho). *Duty cycles* maiores implicam em tensões médias mais próxima a nominal, enquanto *duty cycles* menores implicam em tensões médias próximas a zero. Como mostrado na Fig. 2.9, a gradação entre tensões médias dependerá, principalmente, do tempo levado em consideração. Contudo, a resolução temporal dependerá dos registradores temporais do microcontrolador sendo empregado ou do gerador de sinais.

Microcontroladores da família ATmega328, possuem dois registradores temporais de 8 bits e um de 16 bits. Dessa forma, a resolução da tensão de saída será a razão entre a tensão nominal e 255 ou 1023 a depender do registrado em questão.

### 2.2.10 Transdutores de Posição Angular

Um transdutor de posição angular, ou *encoder*, é um dispositivo eletrônico capaz de transformar a rotação de um corpo em informação elétrica. Esses transdutores podem ser divididos em incrementais, que detectam apenas a mudança de posição, e absolutos, que indicam a posição real do objeto (OLIVEIRA et al., 2017). No projeto, foi utilizado o *encoder* absoluto AS5040.

Figura 2.9 – Tipos de PWM com duty cycle associado



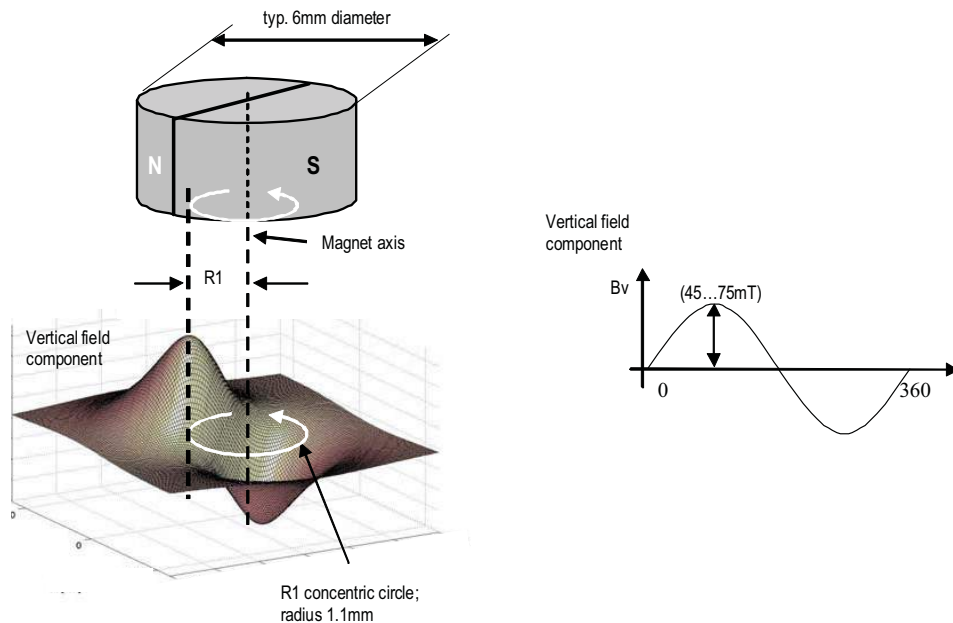
Fonte: Autoria Própria

O AS5040 é um *encoder* magnético rotativo que mede, de maneira acurada, ângulos dentro de uma faixa de  $360^\circ$ . Ele é um sistema embarcado com elementos Hall, front-end analógico e processamento de sinal digital. Além disso, sua resolução é de 0,35 $\pi$  totalizando 1024 posições por revolução.

Para medir a posição angular de um corpo fixamos um dipolo permanente sobre ou sob o circuito integrado (CI) de forma centralizada. Como neste CI os elementos Hall estão distribuídos ao redor do centro do chip, ao girarmos o ímã os mesmos fornecem uma representação elétrica do campo magnético na superfície do dispositivo. Com essa representação, o AS5040 infere o deslocamento e a posição angular atual. A Fig. 2.10 mostra, de maneira esquemática, o funcionamento do *encoder*.

### 2.2.11 Placa de Desenvolvimento e Microncontrolador

As placas de desenvolvimento são dispositivos que consistem em diversos itens. Geralmente são placas de circuito impresso (PCB), que contêm um SoC (System-on-Chip), em que por conseguinte contém um módulo PoP (Package-on-Package). Neste módulo em questão, existe uma memória RAM, a qual acaba não podendo ser alterada justamente por estar introduzida no módulo PoP.

Figura 2.10 – Diagrama funcional do *encoder* absoluto AS5040

Fonte: [ams OSRAM Group \(2022\)](#)

Costumeiramente possuem diversas entradas e saídas, seja em forma de pinos, ou por conexão USB. As placas de desenvolvimento geralmente trazem também conexões serial, que podem vir através de pinagem própria, ou pela própria USB da placa (USB over Serial). Quase em sua totalidade, essas placas de desenvolvimento contam com pinos de GPIO (Entrada e Saída de Propósito Geral). Esses pinos são necessários para que haja interação microeletrônica, como a utilização de módulos, interface serial, ou sensores ([MARGOLIS; JEPSON; WELDIN, 2020](#); [SHILOH; BANZI, 2022](#)).

Atualmente existem diversas placas de desenvolvimento variando desde código aberto até as patenteadas. Para o propósito do projeto escolheu-se uma placa Arduino Nano ([ARDUINO, 2022](#)) uma vez que ela possui um microcontrolador ATmega328 SMD ([ATMEL, 2016](#)) integrado, e um tamanho relativamente pequeno quando comparado as demais placas da família Arduino.

As vantagens atreladas a se trabalhar com uma placa de desenvolvimento estão principalmente na facilidade de prototipagem rápida a um baixo custo. O Arduino Nano, bem como as demais Arduíneos, conta com um ambiente de desenvolvimento integrado (IDE) de código aberto e com uma linguagem própria baseada em C e C++ ([ROBÓTICA, 2012](#)).

### 2.2.12 Controle

Ao lidar com máquinas ou sistemas de máquinas é possível se utilizar de dispositivos ou técnicas para gerenciar o comportamento esperado. Para isso se precisa primeiramente fazer a modelagem matemática do sistema, ou planta. No caso deste projeto foi usado o modo de

controle PID.

Controle PID é uma forma de controle de um sistema, que significa controle Proporcional-Integrativo-Derivativo. Ele é composto por três coeficientes:  $K_p$  (ganho proporcional),  $K_i$  (ganho integral),  $K_d$  (ganho derivativo). Os controle PID podem ser empregados em sistemas de malha fechada, ou seja, sistemas com retroalimentação que são sistemas onde a partir de uma comparação entre o estado esperado na saída com o seu estado real, o controlador recebe os dados e atua de forma a fazer com que a saída seja alterada para o seu valor esperado, no melhor caso, ou o mais próximo possível (FILHO; ARAÚJO, ).

O controle PID pode ser escrito na forma da equação abaixo.

$$PID = K_p \left( 1 + \frac{1}{T_i S} + T_d S \right) = K_p + \frac{K_i}{S} + K_d S \quad (2.1)$$

O termo proporcional produz um resultado proporcional ao erro estacionário, sendo que esse pode ser ajustado ao se multiplicar o erro pela constante  $K_p$ . Quanto maior o ganho do termo proporcional maior a mudança no resultado pelo erro. Sendo que se o mesmo é grande demais o sistema fica muito instável, mas também quando ele fica muito baixo o controlador fica menos responsivo, respondendo de forma desproporcional a perturbações no sistema. (ANG; CHONG; LI, 2005)

O termo integral influência tanto a magnitude quanto o tempo de duração do erro. Esse termo é o resultado da soma do erro instantâneo ao longo do tempo, por conta disso ele faz com que o valor presente sofra um sobressinal, i.e., um sinal com valor excedente ao esperado.

O termo derivativo é achado determinando a inclinação do erro ao longo do tempo, e multiplicando pelo termo de ganho derivativo. Com este termo se tem uma previsão do comportamento do sistema, sendo possível melhorar o tempo de acomodação a estabilidade do sistema (CRENGANIS; BOLOGA, ). De forma resumida, o efeito das constantes no sistema pode ser analisado de acordo com a tabela 2.1.

Tabela 2.1 – Efeito dos Parâmetros em um sistema

	Tempo de subida	Overshoot	Tempo de acomodação	Erro	Estabilidade
$K_p$	Diminui	Aumenta	Indiferente	Diminui	Piora
$K_i$	Diminui	Aumenta	Aumenta	Elimina	Piora
$K_d$	Indiferente	Diminui	Diminui	Sem efeito	Melhora se $K_d$ é pequeno

Fonte: Autoria Própria

E para a aplicação desse controle, pode se utilizar diversos métodos, inclusive o método manual. O qual se executa deixando tanto  $K_i$  quando  $K_d$  sendo 0, e então se aumenta  $K_p$  até que a curva oscile. Com isso se diminui o valor de  $K_p$  pela metade, para se ter uma resposta na qual a amplitude da curva cai 25% do tamanho. Com isso se aumenta  $K_i$  até que a resposta seja

corrigida, mas não se aumenta demais para não causar instabilidade. Por fim se aumenta  $K_d$  de forma que o sistema fique com o ganho e estabilidade esperados (CRENGANIS; BOLOGA, ).

### 2.2.13 Filtros Digitais

Ao colhermos dados provenientes de sensores, muitas vezes temos ruídos e artefatos no sinal de interesse. Esses ruídos podem ser provenientes de harmônicas do próprio sinal, interferências mecânicas, interferência de campos ou até mesmo derivas causadas por processos de integração (SALMONY, 2021a; SALMONY, 2021b; SALMONY, 2021c). Logo, para se obter um sinal limpo, faz-se necessária a remoção desses sinais espúrios, i.e., precisamos filtrar esses sinais.

Por vezes, para mitigar os efeitos desses ruídos, acoplamos circuitos com resistores, capacitores e indutores aos sensores. Embora ainda hajam casos que essa aplicação física seja necessária, hoje também há a possibilidade de implementar esses circuitos de forma digital, i.e., um filtro digital. Na área de processamento de sinais, um filtro digital é um sistema que realiza operações matemáticas num sinal discretizado no tempo para reduzir ou reforçar aspectos do sinal.

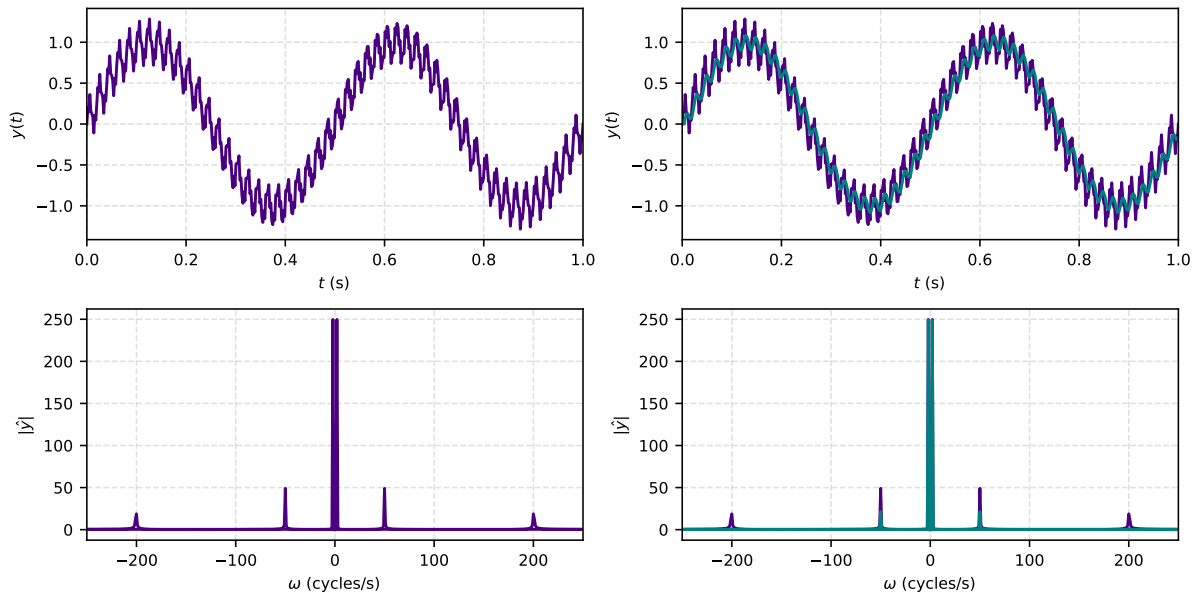
Para que o filtro seja implementado, devemos definir uma função de transferência bem como a faixa de funcionamento. No geral, utilizamos as funções de transferências dos filtro analógicos contínuos e em seguida discretizamos a função de transferência contínua em função da nossa taxa de amostragem. Assim como para filtros analógicos, o filtro digital pode operar sobre diversas faixas de frequência recebendo as denominações passa-baixa, passa-altas, passa-faixa e rejeita-faixa.

O filtro passa-baixa apresenta um limite superior de acordo com a frequência desejada (frequência de corte), e limite inferior nulo. Neste caso, frequências inferiores a frequência de corte serão conservadas, enquanto as superiores serão atenuadas. O filtro passa-alta tem o efeito oposto ao passa-baixa, permitindo que frequências maiores que a de corte sejam mantidas enquanto as inferiores sejam anuladas. O filtro passa-faixa, por sua vez, possui tanto um limite inferior quanto um superior, permitindo que somente uma faixa de frequências seja mantida. Por outro lado, o filtro rejeita-faixa tem limite inferior e superior determinados para conservar qualquer faixa de frequência que não seja a que se deseja rejeitar (MARIN, 2014).

A Fig. 2.11 mostra o funcionamento de um filtro passa baixa. Podemos ver, na coluna à esquerda, que o sinal no domínio do tempo possui uma componente principal de baixa frequência e outras componentes de maior frequência. Ao fazermos a transformada de Fourier, constatamos uma componente próxima a zero, uma em 50 rad/s e outra em 200 rad/s. Como neste caso desejava-se eliminar as componentes de mais alta frequência, definiu-se uma frequência de corte em 25 Hz. Na coluna à direita vemos o resultado da aplicação do filtro digital. Inicialmente podemos ver um pequeno atraso do sinal filtrado em relação ao sinal original e, além disso,

pode-se constatar uma oscilação de alta frequência bem mais atenuada. Ao vermos o sinal pela ótica da transformada de Fourier constatamos uma eliminação completa da componente em 200 rad/s e uma forte atenuação em 50 rad/s.

Figura 2.11 – Efeito de um filtro passa-baixa



Fonte: Autoria Própria

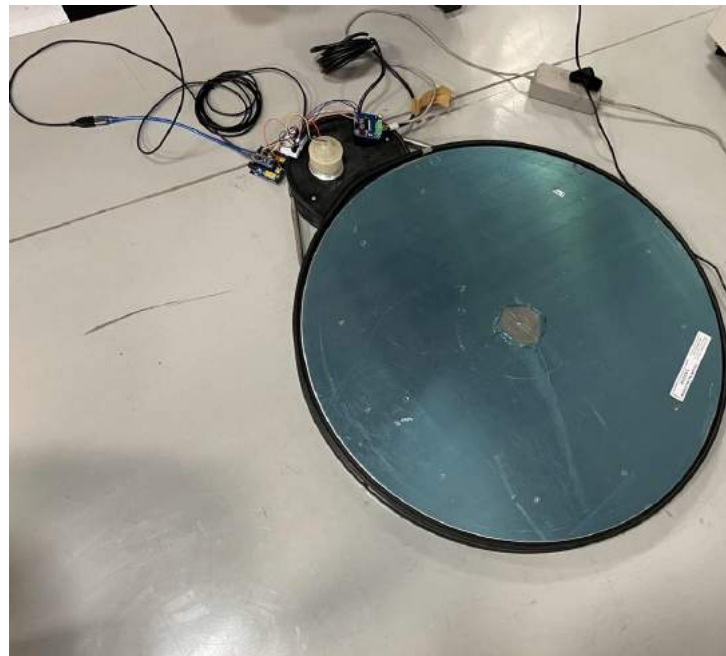
Podemos elencar como benefícios da implementação de filtros digitais a possibilidade de se implementar, alterar e ajustar esses filtro de maneira mais fácil dado que no geral serão ajustes de software. Além disso, podemos implementar filtros de maior ordem sem grande aumento da complexidade diferentemente dos dispositivos eletrônicos que aumentaram proporcionalmente em tamanho e implicarão numa maior dissipação energética.

## 3 Métodos

### 3.1 Plataforma giratória

A plataforma giratória utilizada é formada por dois discos de alumínio espaçados por um compensado de madeira, fixados por parafusos do tipo Torx. Em contato com o compensado de madeira, há uma correia dentada que transfere a rotação do motor para a plataforma. Na Fig. 3.1, podemos ver a plataforma giratória e o motor que fica armazenado dentro do compartimento preto.

Figura 3.1 – Plataforma giratória utilizada na rotação dos indivíduos durante o escaneamento.



Fonte: Autoria Própria

Para realizar a alimentação do motor se utilizou de um fonte de corrente contínua com tensão nominal de 12 V e corrente nominal de 3 A. Em detrimento à necessidade de acionar o motor através do microcontrolador, ligou-se a fonte e o motor à ponte H. Por meio dessa interface de controle e potência foi possível acionar o motor, controlar a sua direção assim como sua velocidade.

Afim de aferir a rotação do motor, posicionamos o transdutor de posição absoluta sobre o ímã fixado no eixo do motor. Este transdutor foi então enclausurado em um compartimento impresso em 3D pelo qual o fluxo magnético era capaz de fluir livremente por meio de um orifício na parte inferior.

Por fim, o Arduíno Nano foi conectado ao computador por meio de um cabo USB. Neste caso, a porta USB fornece tanto a alimentação quanto permite estabelecer a comunicação serial bidirecional.

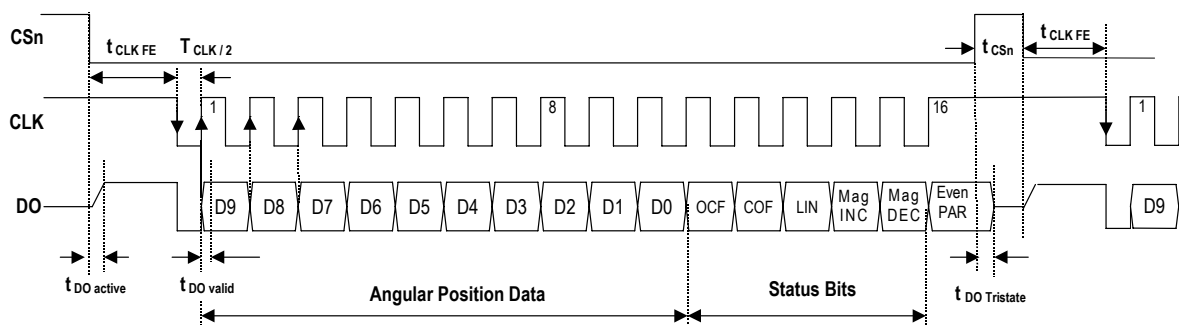
### 3.1.1 Aferição da Posição Angular

Uma vez que tínhamos todos os componentes em posição foi possível iniciar o desenvolvimento do software de controle da plataforma. Iniciamos pela codificação do *encoder* usando a amostragem da posição angular do motor que nos fornece a posição e a velocidade de rotação da base.

Ao verificar o *datasheet* do AS5040, foi decidido seguir com a implementação do protocolo de *synchronous serial interface* (do inglês, interface serial síncrona). Para essa configuração, precisamos conectar o *encoder* a dois pinos de alimentação e três pinos de sinal do microcontrolador. Dos pinos de sinal temos um pino para selecionar o chip ( $CS_n$ ), um pino para enviar o *clock* (CLK) e um último pino para fazer a leitura dos dados (DO).

Para que a aferição da posição angular fosse efetuada, devem ser seguidas algumas etapas apresentadas na Fig. 3.2. Essa figura mostra a configuração de cada um dos pinos no microcontrolador ao longo de uma aferição. Inicialmente temos  $CS_n$  e CLK em nível lógico alto e dizemos que o DO está num estado tri-estado de alta impedância.

Figura 3.2 – Protocolo de aferição de posição angular.



Fonte: [ams OSRAM Group \(2022\)](#)

Para iniciarmos o ciclo de aferição movemos o  $CS_n$  para nível lógico baixo e aguardamos um período. Em seguida, iniciamos a sequência de pulsos modulados a um *duty cycle* de 50% a uma taxa de 1 MHz. Ao longo dos pulsos, na borda de subida, os dados são movidos para o pino DO que os lê. Como a leitura inicia-se pelo bit mais significativo fazemos um deslocamento do mesmo para a esquerda. Este processo repete-se dez vezes.

Ao fim do primeiro ciclo, inicia-se a leitura de outras informações complementares ao dado. Essas informações servem para dizer se o dado lido no primeiro ciclo é válido ou não.

Dessa forma, podemos eliminar a medição caso a mesma falhe ao atender os critérios dos bits complementares.

Por fim, cessamos o *clock* retornando-o ao nível lógico alto e, então, retornamos o CSn ao nível lógico alto também. Para iniciarmos uma nova aferição devemos repetir o mesmo processo, mas com um interstício de no mínimo 500 nanosegundos.

### 3.1.2 Processamento Paralelo

Como os microcontroladores ATmega328 possuem somente uma unidade de processamento lógico, eles não suportam a execução de tarefas em paralelo, ou *threads*. Todavia, é possível alternar a execução das tarefas de forma condicional e, assim, simularmos uma execução em paralelo, ou *protothreads* (DUNKELS et al., 2006).

Para que a execução condicional ocorra precisamos que o código opere de forma não bloqueante, i.e., sem que hajam funções que travem o fluxo normal de operação. Sendo assim, operações como os atrasos deveriam ser substituídos por condicionais que checam se um dado intervalo de tempo foi atingido. Dessa forma, enquanto o intervalo de tempo é inferior ao esperado, o microcontrolador pode desviar o fluxo normal do código e executar outras operações.

O método integrado com as interrupções temporais do microcontrolador em questão traz um controle temporal de alta precisão. Essa precisão é proveniente da capacidade de operarmos na faixa dos microsegundos, checando se há necessidade de executar ou não as funções programadas. Soma-se a isso o uso de programação orientada a objeto, e temos uma forma robusta de atualizarmos dados de interesse e os recuperarmos de maneira fácil e segura.

Tendo isso posto, utilizamos o processamento paralelo para a maioria das funções que foram implementadas. Neste caso, o *encoder* era a função com o menor intervalo entre atualizações a fim de se obter um dado confiável, seguido da atualização da velocidade do motor e o envio de dados via serial. Por fim, somente a função de recebimento de dados via serial ficou sem o uso do processamento paralelo uma vez que a mesma deveria ser executada sempre a fim de processar qualquer solicitação proveniente do computador.

### 3.1.3 Controle de Velocidade

Ao nos debruçarmos sobre objetivos do escaneamento 3D, recaímos em dois problemas: a quantidade de dados e o tempo de escaneamento. Ao rotacionarmos o objeto lentamente, podemos obter uma nuvem de pontos mais detalhada, uma vez que as pequenas variações poderão ser detectadas, contudo, o tempo de escaneamento será elevado. Por outro lado, ao rotacionarmos rapidamente o objeto, perderemos nuances de sua superfície obtendo um escaneamento mais simples, embora mais rápido.

Para obtermos uma taxa de variação constante e ajustável precisamos implementar um

controle da velocidade do motor. Dado que os corpos submetidos ao escaneamento possuem momentos de inércia diferentes, possíveis trepidações e eventuais oscilações do fornecimento de energia, faz-se necessário um sistema de controle por retroalimentação.

Por tratar-se de um sistema relativamente simples, recorreremos ao uso do controle Proporcional, Integral e Derivativo (PID) afim de controlarmos o sistema motor-plataforma. Assim, desenvolvemos um sistema de controle PID digital. Neste sistema de controle, variamos a velocidade do motor em função da tensão de alimentação que pode ser ajustada pelo PWM (do inglês, *pulse with modulation*) aplicado à ponte H.

A velocidade angular da plataforma pode ser obtida com a relação de transmissão entre a plataforma e o motor. Dessa forma, a cada atualização da posição angular do motor era somado a um acumulador a posição total da plataforma e com isso, calculávamos a derivada primeira de maneira discreta. Mais uma vez utilizamos do processamento paralelo para atualizar o controlador e a atuação dele sobre o sistema.

Para realizar o ajuste dos parâmetros de controle  $K_p$ ,  $K_i$  e  $K_d$  utilizamos um método heurístico implementado por bissecção. Começamos por ajustar o ganho proporcional e, enquanto monitorávamos o erro estacionário, aumentávamos o ganho integral. Por fim, incluímos um ganho derivativo para lidar com oscilações repentinas de velocidade da plataforma, e melhorar o tempo de resposta ao se alterar a velocidade via comunicação serial.

Embora as constantes finais tenham atendido aos nossos requisitos, ainda observava-se uma variação errática da velocidade em função de ruídos de leitura do transdutor de posição angular. Para reduzir os efeitos dos ruídos de alta frequência, implementamos um filtro passa baixas.

### 3.1.4 Filtro Passa Baixas

A ideia por trás dos filtros é remover uma parte do sinal de forma a diminuir o ruído na aferição da posição angular. Como o motor empregado não possui uma velocidade elevada e estamos trabalhando com a corrente abaixo da nominal, vamos colocar a frequência de corte em 25 Hz. Dessa forma, velocidades muito superiores serão atenuadas.

Filtros reais são modelados pela função de transferência dada na Eq. 3.1. Nesta equação, o parâmetro  $\omega_0$  é a frequência de corte do filtro.

$$H(s) = \frac{\omega_0}{s + \omega_0} \quad (3.1)$$

Dela seguimos fazendo a transformação bilinear onde

$$s = \frac{2}{\Delta t} \left( \frac{1 - z^{-1}}{1 + z^{-1}} \right), \text{ para } \Delta t = \frac{1}{f_s} \quad (3.2)$$

Ao fazermos a transformação bilinear para uma taxa de amostragem de  $f_s = 500$  Hz obtermos a função de transferência discreta desejada (ver Eq. 3.3).

$$H(z) = \frac{\omega_0}{\frac{2}{\Delta t} \frac{1-z^{-1}}{1+z^{-1}} + \omega_0} = \frac{\Delta t \omega_0 (z+1)}{(\Delta t \omega_0 + 2)z + \Delta t \omega_0 - 2} = \frac{0.135z + 0.135}{z - 0.728} \quad (3.3)$$

Para que possamos utilizar essa função de transferência discreta, lançaremos mão de uma equação a diferenças. De forma geral, podemos escrever qualquer função de transferência discreta em termos da Eq.3.4

$$\sum_{k=0}^N a_k y[n-k] = \sum_{k=0}^N b_k x[n-k] \quad (3.4)$$

na qual, ao tomarmos a transformada z obtemos a seguinte função de transferência discreta

$$Y(z) \left( \sum_{k=0}^N a_k z^{-k} \right) = X(z) \left( \sum_{k=0}^N b_k z^{-k} \right) \quad (3.5)$$

$$\Rightarrow H(z) = \frac{Y(z)}{X(z)} = \frac{\sum_{k=0}^N b_k z^{-k}}{\sum_{k=0}^N a_k z^{-k}} \quad (3.6)$$

Portanto, ao unirmos os resultados obtidos na Eq. 3.3 com a Eq. 3.4 obtemos a equação do nosso filtro digital a ser implementado (ver Eq. 3.7).

$$y[n] = 0.135x[n] + 0.135x[n-1] + 0.728y[n-1] \quad (3.7)$$

### 3.1.5 Comunicação Serial

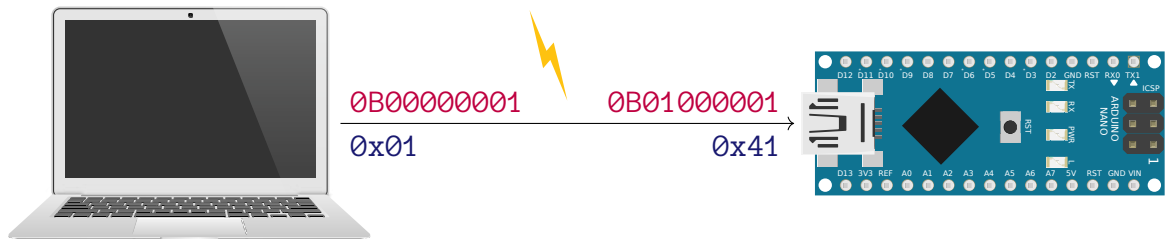
Para estabelecer uma comunicação entre o Arduino e o computador, utilizamos a porta serial desses dispositivos. A vantagem de se trabalhar com esse tipo de comunicação recai principalmente na facilidade de implementá-la, contudo ela não é muito robusta e nem confiável sendo propensa a erros e ruídos na transmissão dos dados.

No nosso caso, como estamos trabalhando com motores, há um campo eletromagnético próximos aos nosso cabos. Em função das correntes induzidas no fio, poderia haver distorções nos dados enviados. Dessa forma, poderíamos receber um dado alterado durante a comunicação. A Fig. 3.3 ilustra essa interferência no envio do dado. Nela, inicialmente enviamos o dado 0B00000001 e, por conta da interferência do ambiente, o dado é alterado chegando como 0B01000001.

Dada uma situação hipotética onde deseja-se controlar a velocidade do motor, sairíamos de uma velocidade de 1 para 65. Ou seja, um aumento percentual de 25% ao sair do repouso.

Embora o nosso motor não possua altas velocidades, essa aceleração substancial poderia causar um certo desconforto.

Figura 3.3 – Comunicação serial e implementação do protocolo de comunicação



Fonte: Autoria Própria

Para mitigar esse tipo de problema, utilizamos um protocolo de comunicação. Protocolos de comunicação podem ser implementados de diversas formas, como por exemplo, utilizando expressões regulares em textos (AHO, 1990) ou empacotamentos dos dados. A primeira forma, embora altamente confiável, requer uma demanda computacional elevada, podendo causar travamentos no microcontrolador. A segunda alternativa, que embora mais simples, é igualmente confiável e requer menos recursos de memória e de processamento. Por conta desses fatores, lançamos mão do método de empacotamentos dos dados.

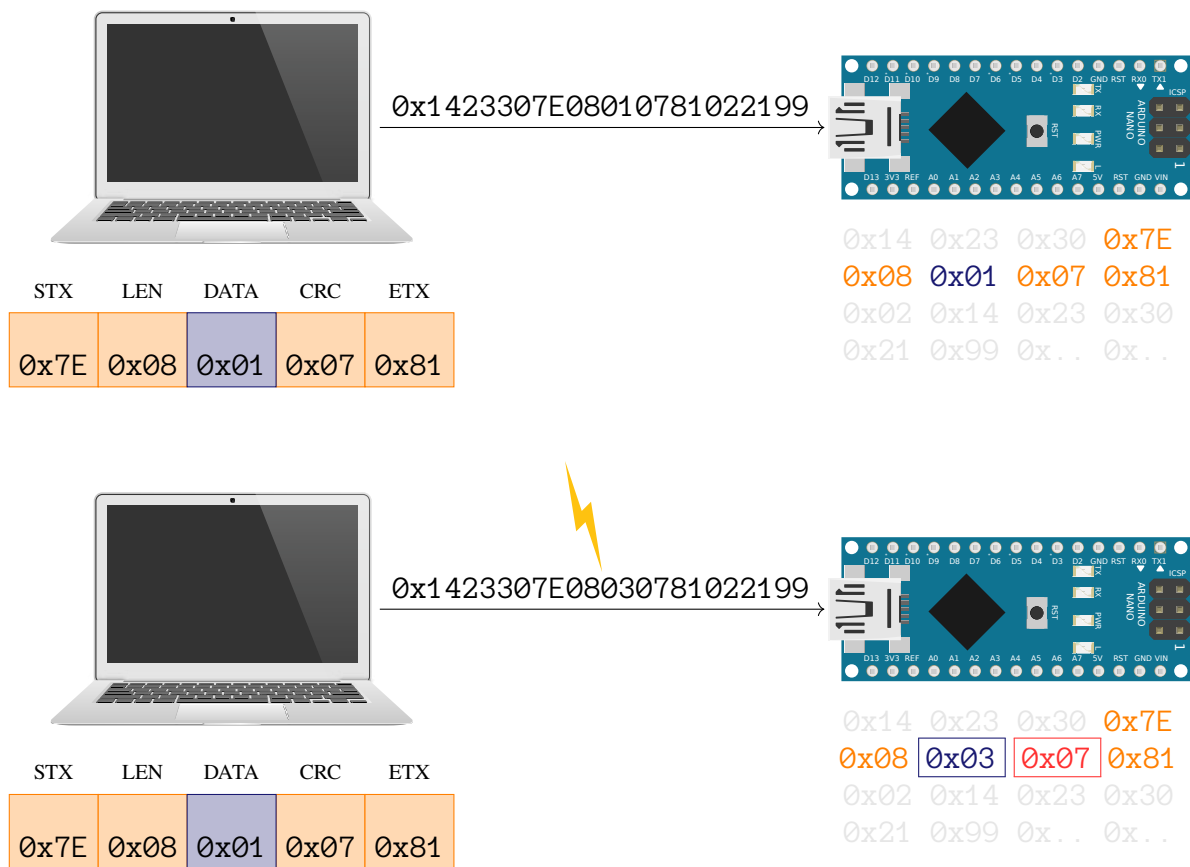
O empacotamento consiste na formação de uma mensagem utilizando marcadores conhecidos e uma arquitetura recorrente. De maneira geral, na formação da mensagem, definimos marcadores de início e fim, marcadores de tamanho, i.e., quantos bytes comporão o dado, e um marcador de validação, onde foi empregado uma verificação cíclica de redundância (SOBOLEWSKI, 2003). Na Fig. 3.4, podemos ver esse marcadores em laranja. Após a definição desses marcadores, podemos montar nossa mensagem como o byte inicial representando o marcador de início, seguido pelo tamanho do dado, o dado *per se*, o validador e, por fim, o marcador de fim.

Ao implementarmos essa estrutura em ambos os dispositivos, podemos deixá-los monitorando a via serial em busca dos dados. Quando o byte representando o marcador de início é lido, o dispositivo começa a armazenar os próximos dados. Ele também irá monitorar o tamanho dos bytes do dado a serem guardados, o dado e em seguida o validador, findando a mensagem no marcador de fim.

Se em algum desses momentos o número de bytes esperados for maior que o número de bytes recebido a mensagem é eliminada. O mesmo ocorre para o análogo oposto. Por fim, temos a situação onde o tamanho da mensagem enviada e a mensagem recebida são iguais. Neste caso usaremos o validador para checar se o dado foi corrompido ou não.

Os validadores funcionam como um dígito de verificação. Ao aplicarmos uma sequência de operações lógicas podemos, por exemplo: obter o validador ou tornar o resultado par. A

Figura 3.4 – Protocolo com envio de dado único



Fonte: Autoria Própria

construção dessas operações é feita de forma que somente a sequência de bits original resultaria numa tautologia com o validador. Na parte inferior da Fig. 3.4 exemplificamos um caso onde o dado foi corrompido.

## 3.2 Escaneamento

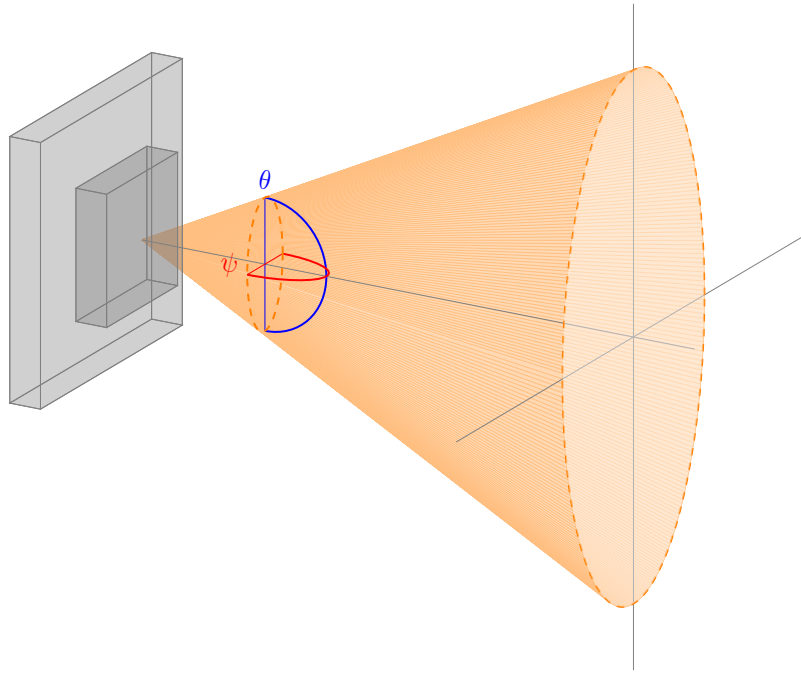
### 3.2.1 Posicionamento Adequado

O posicionamento tanto da plataforma, quanto do LiDAR deu-se de maneira iterativa. Ao longo das tentativas, buscávamos encontrar uma área livre atrás da plataforma, assim como um posição suficientemente próxima para conectarmos os cabos para a comunicação serial.

Embora dependente da posição da plataforma, o posicionamento do LiDAR precisava atender tanto as especificações técnicas, quanto as do nosso projeto. Segundo o fabricante, o Onion Tau LiDAR Camera possuía uma resolução de  $160 \times 60$  pixels e um campo de visão de  $81 \times 30$  graus, além de uma distância mínima de 10 cm e uma máxima de 4,5 metros. Como buscávamos escanear pessoa com até 2 metros tínhamos as variáveis de contorno definidas.

A Fig. 3.5 nos mostra um diagrama esquemático para o posicionamento inicial do LiDAR. Tendo em vista que a resolução maior estaria na horizontal, nós invertemos a orientação do LiDAR afim se obter mais pontos na vertical. Assim, o ângulo  $\theta$  representa o campo de visão de 81 graus e o ângulo  $\psi$  o de 30 graus. Para prosseguir com os cálculo tomamos a distância entre o sensor e o objeto escaneado como  $d$ , o maior raio como  $h_1$  e o menor como  $h_2$ .

Figura 3.5 – Campo de visão do LiDAR



Fonte: Autoria Própria

Tomando a altura desejada teríamos uma distância mínima dada por

$$\tan \theta = \frac{h_1}{d} \Leftrightarrow d = \frac{\frac{2}{2}}{\tan \left( \frac{81}{2} \right)} = 1,17 \text{ m} \quad (3.8)$$

Contudo, com essa distância, somente poderíamos medir distâncias entre mãos de

$$\tan \phi = \frac{h_2}{d} \Leftrightarrow h_2 = 1,17 \cdot \tan \left( \frac{30}{2} \right) = 0,313 \text{ cm} \quad (3.9)$$

portanto, 63 cm.

Em amostragem piloto, vimos que a distância entre mão ficava dentro de uma facha de 75 cm. Dessa forma, foi necessário aumentar a distância. Partindo dos 75 cm, obtivemos uma distância igual a 2,8 metros.

$$\tan \phi = \frac{h_2}{d} \Leftrightarrow d = 0,75 \cdot \tan \left( \frac{30}{2} \right) = 2,8 \text{ m} \quad (3.10)$$

$$\tan \theta = \frac{h_1}{d} \Leftrightarrow h_1 = 2,8 \cdot \tan \left( \frac{81}{2} \right) = 2,39 \text{ m} \quad (3.11)$$

Assim, para garantirmos a altura do LiDAR utilizamos um tripé com um suporte acoplado à sua extremidade (ver Fig 3.6). O tripé foi posicionado com uma altura fixa de 1,5 m de altura. Embora o LiDAR intercepte o chão nessa altura, garantimos que nossa zona de amostragem fique dentro do cone de visão e longe das extremidades assim como exemplificado na Fig. 3.5.

Figura 3.6 – Posicionamento inicial da plataforma e suporte do LiDAR e a clausura



Fonte: Autoria Própria

### 3.2.2 Amostragem dos Dados

Diante à implementação das etapas prévias, começamos o processo amostragem das nuvens de ponto. Para que obtivéssemos uma nuvem de pontos representativa, deveríamos garantir algumas etapas, das quais podemos elencar: 1) garantir que não haviam objetos no fundo da imagem interferindo na coleta dos dados; 2) as vestimentas das pessoas, bem como a cor dos objetos deveriam ser claras; 3) caso estivéssemos escaneando uma pessoa, a pose padrão seria com os braços levemente afastados.

Para iniciar a amostragem dos dados, enviávamos um comando para o Arduíno através da via serial indicando a velocidade da plataforma, bem como a liberação do movimento. Em seguida, o Arduíno começava a enviar os dados da posição angular ao mesmo tempo que o LiDAR fazia a aquisição da nuvem de pontos. Todos os dados eram coletados e salvos num arquivo binário por meio de um *script Python*. Ao fim de duas voltas, era enviado um novo comando ao Arduíno para que o mesmo cessasse o movimento.

Figura 3.7 – Exemplificação do processo de escaneamento



Fonte: Autoria Própria

O processo de escaneamento pode ser visualizado na Fig. 3.7. Nesta figura, a pessoa escaneada foi girada duas vezes afim de se obter uma maior quantidade de dados finais. Vale notar que o cenário no fundo está distante do plano de interesse, e a pessoa utiliza vestimentas claras.

## 3.3 Processamento dos Dados

### 3.3.1 Remoção de Ruídos da Aquisição

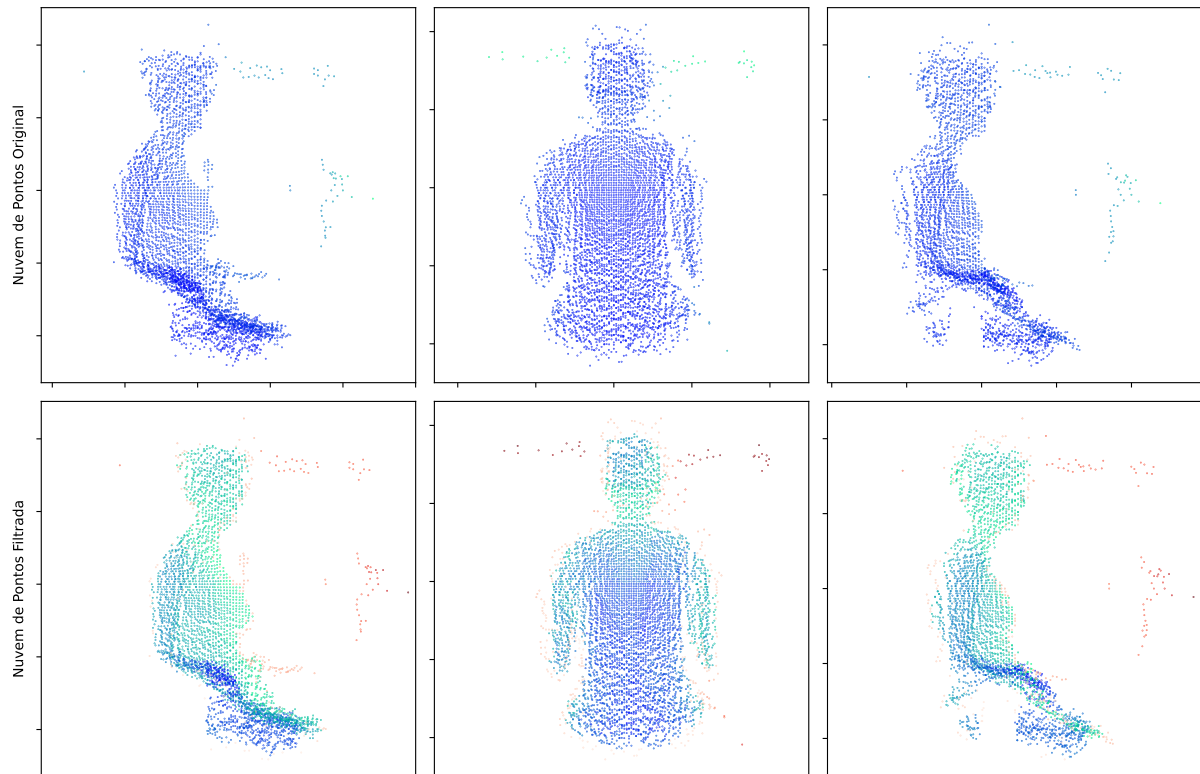
Durante o escaneamento, o LiDAR detecta alguns pontos que são ruídos de medida, ou *outliers*. Portanto, para realizar a união das malhas e a reconstrução da malha faz-se necessária remoção destes registros. Embora existam diversos métodos para a detecção de *outliers*, utilizamos um método simples que detecta o número de pontos vizinhos dentro de um certo raio. Caso o ponto não atenda aos critérios estabelecidos, nós o removemos.

Como o LiDAR permanecia fixo e o cenário de fundo idealmente também, definimos um critério que atendesse aos nossos critérios de outliers. Assim, após ajuste no número de vizinhos a serem considerados, bem como a distância, chegamos num filtro que julgamos ser suficientemente agressivo para a remoção de *outliers* até mesmo próximos ao corpo submetido ao escaneamento.

Na Fig. 3.8 podemos ver, na parte superior, as nuvens amostradas sem nenhum trata-

mento prévio. Com elas percebemos que existem diversos pontos ao redor da pessoa sendo escaneada, mas que não pertencem a ela. No parte inferior, por outro lado, estão as nuvens de pontos após a remoção dos *outliers*. Podemos ver que os pontos que estavam mais afastados do corpo foram identificados como *outliers* e foram destacados em vermelho. Em ambas as nuvens de pontos o mapa de cores varia de azul escuro até verde conforme a distância do ponto em relação ao sensor.

Figura 3.8 – Tratamento de Outliers



Fonte: Autoria Própria

### 3.3.2 Alinhamento da Nuvem de Pontos

Diferentemente de alguns escâneres portáteis em que o objeto se mantém fixo enquanto o escâner navega pelo espaço, no nosso o objeto submetido ao escaneamento que é rotacionado. Neste cenário, todas os dados adquiridos são tangentes ao sensor sendo necessárias transformações homogêneas *a posteriori* para que tenhamos uma nuvem rotacionada entorno de um ponto central.

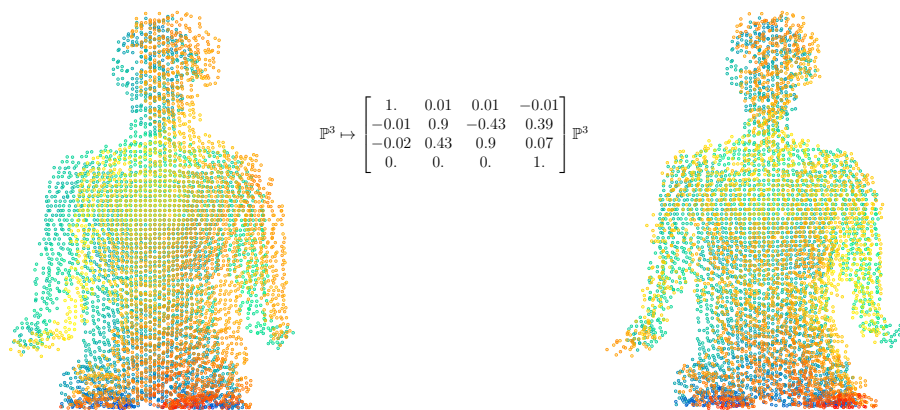
Dessa forma, para que fosse feito o alinhamento entre as malhas, utilizamos um método não supervisionado chamado ICP (*Iterative Closest Point*, do inglês, ponto mais próximo iterativo). O algoritmo de ICP pode ser resumido pela minimização da equação 3.12. Seja um ponto  $p_i$  pertencente a um conjunto de pontos P e de forma semelhante,  $q_i$  pertencente ao conjunto Q. O algoritmo busca alinhar as nuvens calculando iterativamente a transformada T que minimiza

a distância entre  $p_i$  e  $q_i$ . O resultado deste método fornece uma nova nuvem de pontos que é o resultado do alinhamento das nuvens em que o algoritmo é aplicado.

$$\bar{e} = \frac{1}{N} \sum_{i=1}^N \|T p_i - q_i\|^2 \quad (3.12)$$

A Fig. 3.9 mostra duas nuvens de pontos submetidas ao alinhamento pelo ICP. Como na amostragem os corpos eram rotacionados lentamente, havia uma grande sobreposição dos dados o que facilitava a convergência do método. Como podemos ver, mesmo com nuvens razoavelmente desalinhadas, o algoritmo é capaz de fornecer uma transformação que minimize a distância entre as nuvens de pontos. Vale ressaltar que esse método trata as nuvens de pontos como corpos rígidos e, dessa forma, não podem sofrer escalonamentos somente translações e rotações.

Figura 3.9 – Alinhamento Nuvem de Pontos



Fonte: Autoria Própria

Após o escaneamento, haviam cerca de 350 nuvens de pontos distintas distribuídas ao longo de uma revolução. Ao alinharmos uma nuvem de pontos em relação a sua anterior, concatenávamos mais pontos a uma única nuvem afim de obter-se os 360 graus do objeto escaneado. Em função das diversas concatenações o alinhamento das nuvens seguintes tornava-se mais custoso computacionalmente e, por seguinte, mais demorado.

Para que o processo de união e alinhamento fosse menos custoso, nós o dividimos em alguns passos de alinhamento. Inicialmente uníamos as nuvens em grupos de dez garantindo que a última nuvem e a primeira do grupo seguinte fossem iguais para aumentarmos a sobreposição para um próximo passo. Os resultados dessa primeira rodada de alinhamento pode ser visto na Fig. 3.10.

Para o caso específico exemplificado obtivemos 35 nuvens intermediárias. Com elas podemos já ver o delineado da pessoa bem como ter a referência espacial em função das cores. No

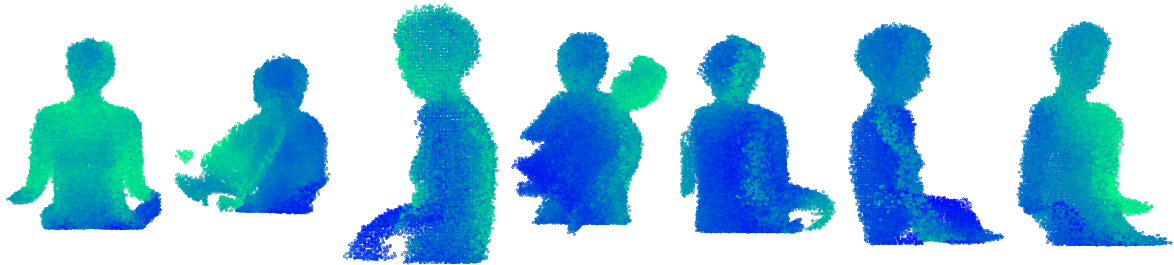
Figura 3.10 – Nuvem de pontos com agrupamento de dez vistas distintas



Fonte: Autoria Própria

passo seguinte, alinhamos em grupos de cinco da mesma forma que no primeiro passo. Os resultados podem ser vistos na Fig. 3.11. Nesta figura podemos ver que para as nuvens mais laterais o método diverge retornando resultado muito aquém do esperado.

Figura 3.11 – Resultado do alinhamento após união das 5 nuvens



Fonte: Autoria Própria

Por se tratar de um método não supervisionado há uma dificuldade inerente ao método em prevenir certos resultados, logo seriam necessárias outras formas de se alinhar ou funções de otimização diferentes que penalizassem rotações excessivas, por exemplo. Como o ICP não nos fornece uma maneira trivial aplicarmos essas restrições, utilizamos as nuvens de pontos das pontas, i.e., a primeira e última para prosseguirmos com a geração da malha tridimensional. O resultado pode ser visto na Fig. 3.12.

Figura 3.12 – Nuvem de pontos final utilizada no trabalho



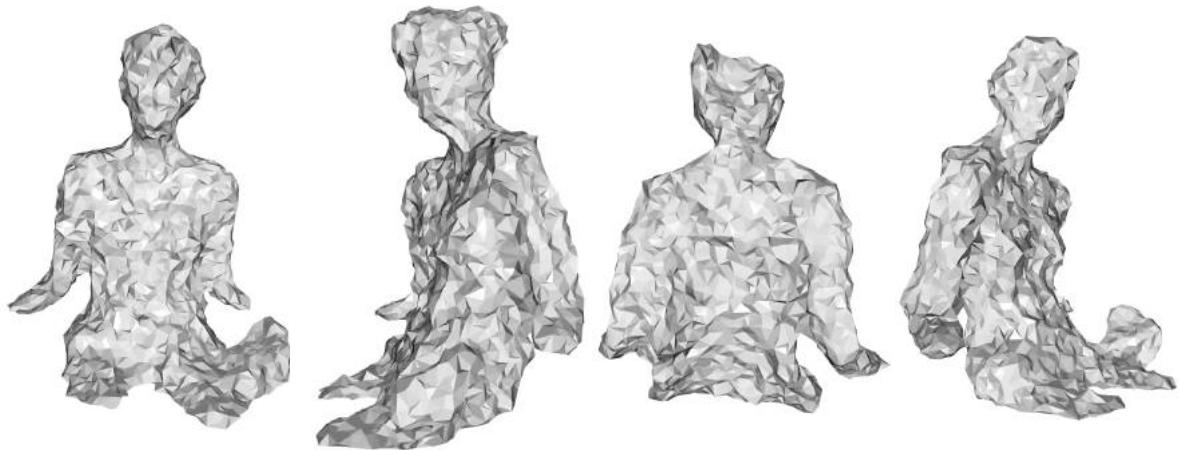
Fonte: Autoria Própria

### 3.3.3 Malha

Após a obtenção da última nuvem de pontos utilizamos alguns métodos diferentes para fazer a reconstrução da nuvem de pontos em uma malha formada por triângulos. Dessa forma, utilizamos três métodos diferentes com o que julgamos serem os melhores parâmetros para a

solução do problema. O primeiro caso consiste na aplicação do algoritmo de *Alpha Shapes* onde obtivemos a malha mostrada na Fig. 3.13.

Figura 3.13 – Reconstrução da malha utilizando *Alpha Shapes*

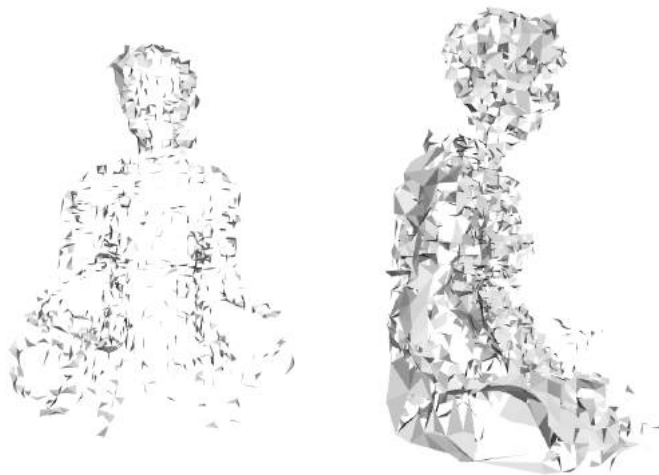


Fonte: Autoria Própria

Esse primeiro algoritmo nos retornou resultado muito satisfatórios nos quais podemos ver a silhueta sendo muito bem reproduzida. Além disso, vemos que as formas gerais do corpo estão presentes, embora com muitas arestas vivas. Contudo, podemos suaviza essa malha com a aplicação de um filtro análogo ao filtro passa baixa, suavizando as arestas.

O segundo método implementado foi a reconstrução utilizando o método de pivotamento de bolas. Os resultados estão dispostos na Fig. 3.14. Como podemos ver, o fechamento da nuvem de pontos não converge para um fechamento total. Mesmo ao alterarmos tanto o tamanho, quanto o número de possíveis raios, o método nos retorna um resultado bem inferior ao esperado.

Figura 3.14 – Reconstrução da malha utilizando *Ball Pivoting*



Fonte: Autoria Própria

Por fim, foi utilizado o método de reconstrução de Poisson. Por ser um dos estado da arte, esperávamos que o seu desempenho superasse os métodos anteriores, contudo, esse método culminou no pior resultado. O método não é capaz nem mesmo de aderir-se à nuvem de pontos, resultando numa superfície secante aos dados. Em função disso, mantivemos o método de *Alpha Shapes*, com a aplicação de um filtro para suavizar os cantos vivos.

## 4 Resultados e Discussão

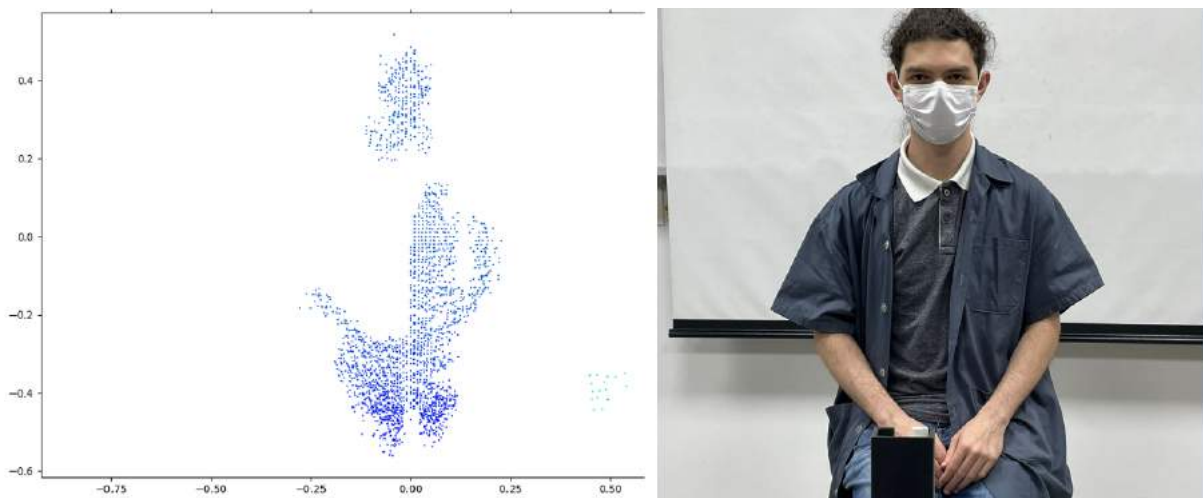
Podemos observar melhores resultados com o método de alpha shapes mostrado na Fig. 3.13. Apesar disso, o resultado está longe do ideal. A malha reconstruída possui uma resolução baixa ao ponto de que a forma geral a pessoa escaneada é identificável, mas há falhas como no reconstrução do rosto e na captura das mãos.

Foi verificado que o sensor apresenta algumas limitações que dificultam a coleta de dados, entre elas identificamos problemas como a própria resolução do equipamento, o efeito da cor/tecido das roupas, pele e cabelo da pessoa sendo escaneada e até o ambiente. Estas limitações serão discutidas a seguir.

Um importante aspecto que foi levado em consideração foi a viabilidade econômica do projeto. O sensor utilizado no projeto, o Onion Tau LiDAR, é um sensor intermediário com resolução de  $160 \times 60$ . Parte do resultado pouco fiel obtido na malha reconstruída (Fig. 4.4) se deve em boa parte a baixa resolução do sensor, sendo que nesse escaneamento foi tomado em condições ideais. Naturalmente, um resultado bastante fiel poderia ter sido obtido com um sensor de alta resolução ( $1920 \times 1080$ ), no entanto, como mencionado na seção 1.2, um dos objetivos era construir um sistema que fosse replicável e acessível.

No caso de vestimentas pretas a leitura não era executada corretamente. Portanto é recomendado fazer o procedimento com roupas claras para evitar a absorção por parte do tecido. Além disso, alguns tecidos não puderam ser escaneados de forma a se ter um bom resultado, como visto no teste feito com um membro do grupo, na Fig. 4.1, mesmo a camisa e o jaleco sendo de tecidos escuros, o jaleco era possível de ser escaneado enquanto a camisa, não.

Figura 4.1 – Problema com Escaneamento - Roupas

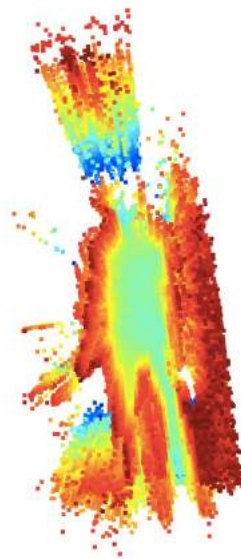


Fonte: Autoria Própria

Também foi constatado pelo grupo que diversas superfícies escuras não são lidas corretamente pelo sensor, sendo necessário usar uma touca para que o couro cabeludo não fosse suprimido, e por consequência a cabeça da pessoa escaneada não fosse "cortada" no resultado final por conta do cabelo escuro.

Outro ponto notado é que se a pessoa estiver na frente de uma parede, o fundo interfere na leitura caso haja muitos objetos que devem ser removidos, por isso a escolha de um lugar com um fundo de uma parede lisa. Na Fig. 4.2 pode-se ver o problema causado por esse posicionamento falho.

Figura 4.2 – Problema com Escaneamento - Superfície



Fonte: Autoria Própria

Afim de realizar mais testes ainda trouxemos um convidado com um tom de pele mais escura do que dos membros já escaneados. Esta tentativa foi de grande ajuda para sabermos o quanto a cor da pele da pessoa escaneada influencia na leitura.

Como é possível ver na Fig. 4.3, a leitura não é insatisfatória. Foi possível ajustar a leitura alterando o tempo de integração do sensor para se poder ler superfícies mais escuras, no entanto com isso se captou muito ruído, sendo inviável a leitura dessa forma.

Uma das dificuldades encontradas foi que não se tem os parâmetros do motor usado para movimentar a plataforma, para saber exatamente os coeficientes para executar o controle PID, por isso foi necessário achar tais valores por tentativa e erro, tomando um tempo considerável.

Apesar da alta complexidade do trabalho foi possível se obter um modelo final, o qual é apresentado na figura 4.4.

O modelo foi obtido após diversas tentativas e erros, sendo possível contornar-los via aplicação do algoritmo *Alpha Shapes*, o qual segundo o que foi mencionado nas referências,

Figura 4.3 – Problema com Escaneamento - Pele



Fonte: Autoria Própria

Figura 4.4 – Reconstrução da malha utilizando *Alpha Shapes*

Fonte: Autoria Própria

foi capaz de criar triângulos para produzir uma tetraedrização do espaço. Pode-se constatar que detalhes do rosto da pessoa escaneada não são possíveis de serem identificados no modelo final, apenas o contorno externo do corpo.

## 5 Conclusão

O resultado obtido com o sensor LiDAR usado se mostrou insatisfatório para o objetivo deste projeto, uma vez que para a aplicação ser funcional a mesma deve poder ser replicada para o maior número possível de pessoas, sendo isso impossível já que cada pessoa, ou a cada grupo com o mesmo tom de pele, exige uma configuração própria.

Com o resultados dos testes realizados, pode-se aferir que o método usado neste trabalho não poderia ser facilmente aplicado conforme o objetivo do grupo tendo em vista as diversas limitações, as inconsistências encontradas entre os tipos de roupa considerados dificultam, e em alguns casos, inviabilizam as medições pelo motivo do sensor não ser capaz de detectar certos tecidos e tonalidades de cor. Como indicação ao próximo trabalho a ser realizado, é recomendado o uso de outro sensor.

# **Apêndices**

# APÊNDICE A – Código Arduino

Listing A.1 – Código Principal Arduino

```

1 #include <TimerOne.h>
2 #include "AS5040.h"
3 #include "ThreadController.h"
4 #include "Thread.h"
5 #include "SerialTransfer.h"
6 #include "PID.h"
7 #include "Platform.h"
8
9 #define CSpin 12
10 #define CLKpin 10
11 #define DOpin 11
12
13 #define PWM 5
14 #define LPWM 6
15 #define RPWM 7
16
17 float prevAngle = 0;
18 float prevVel = 0;
19 float prevT = 0;
20 float vFilt = 0;
21
22 // Instantiate communicaton
23 SerialTransfer dataTransfer;
24 struct __attribute__((packed)) STRUCT {
25     unsigned short opt;
26     double data;
27 } serialData;
28
29
30 // Instantiate sensor thread
31 AS5040 encoder = AS5040(CLKpin, CSpin, DOpin);
32
33 // Instantiate platform
34 Platform platform = Platform(PWM, LPWM, RPWM);
35
36 // Instantiate platform PID
37 PID platformPID;
38
39 // Instantiate platform control thread
40 Thread platformControl = Thread();
41
42 // Instantiate communication thread
43 Thread tx_communication = Thread();
44
45 // Instantiate a new Thread Controller
46 ThreadController controller = ThreadController();
47
48 // This is the callback for the Timer
49 void timerCallback() {
50     controller.run();
51 }
52

```

```
53 void setup() {
54   // Open serial communication
55   Serial.begin(115200);
56   dataTransfer.begin(Serial);
57
58   // Initialize encoder
59   if (!encoder.begin())
60     Serial.println("Error setting up AS5040");
61
62   // Configure platform thread
63   platformControl.onRun(runPlatform);
64   platformControl.setInterval(100); // Milliseconds
65   platformControl.enabled = false; // Initially disabled
66
67   // Configure communication thread
68   tx_communication.onRun(sendPosition);
69   tx_communication.setInterval(15); // Milliseconds
70   tx_communication.enabled = false; // Initially disabled
71
72   // Configure encoder thread
73   encoder.setInterval(2); // Milliseconds
74   encoder.enabled = true; // Initially enabled
75
76   // Add all threads to thread controller
77   controller.add(&encoder);
78   controller.add(&platformControl);
79   controller.add(&tx_communication);
80
81   // Attach timer interrupt
82   Timer1.initialize(1000); // Microseconds
83   Timer1.attachInterrupt(timerCallback); // Run controller
84   Timer1.start();
85
86   // H-Bridge pins setup
87   pinMode(PWM, OUTPUT);
88   pinMode(LPWM, OUTPUT);
89   pinMode(RPWM, OUTPUT);
90
91   // PID setup
92   platformPID.setParams(3., 20., 0., -255., 255.);
93 }
94
95 void loop() {
96   if (dataTransfer.available()) { // If data received
97     uint16_t recSize = 0; // Received data index
98     recSize = dataTransfer.rxObj(serialData, recSize); // Decode received data
99     if (recSize != 6) sendData(0, 0);
100    else{
101      switch (serialData.opt) {
102        /* Available options
103        * 1 : Enable Motor (True/False)
104        * 2 : Change angular speed
105        */
106        case 1:
107          if ((int)serialData.data == 255) {
108            platformControl.enabled = true;
109            tx_communication.enabled = true;
110          } else {
111            platform.turnOff();
112            platformControl.enabled = false;

```

```

113         tx_communication.enabled = false;
114     }
115     break;
116 case 2:
117     platformPID.setTarget((float)serialData.data);
118     break;
119 case 3:
120     sendData(4, millis());
121     break;
122 }
123 }
124 }
125 }
126
127 void sendPosition() {
128     sendData(3, encoder.totalAngle);
129 }
130
131 void sendData(int opt, double data) {
132     serialData.opt = opt; // Options (Python defined)
133     serialData.data = data; // Data to be sent
134     uint16_t dataSize = 0; // Serial stream data size
135     dataSize = dataTransfer.txObj(serialData, dataSize); // Encode message
136     dataTransfer.sendData(dataSize); // Send data
137 }
138
139 void runPlatform() {
140     platform.setSpeed(getPID());
141     platform.motorRun();
142 }
143
144 float getPID() {
145     unsigned long currT = micros(); // Current Time
146     float totalAngle = encoder.totalAngle; // Get current angle from encoder
147     float deltaT = ((float)(currT - prevT)) / 1.0e6; // Delta time since last call
148     float velocity = (totalAngle - prevAngle) / deltaT; // Angular Velocity
149
150     vFilt = 0.728 * vFilt + 0.136 * velocity + 0.136 * prevVel; // Low pass filter
151     prevAngle = totalAngle; // Update previous angle
152     prevT = currT; // Update previous time
153     prevVel = velocity;
154
155     return platformPID.eval(vFilt, deltaT); // Evaluate PID
156 }

```

### Listing A.2 – Código AS5040

```

1 /*
2 *
3 * AS5040.h - Arduino library for AMS AS5040 magnetic rotary encoder chip
4 *
5 */
6
7 #ifndef AS5040_h
8 #define AS5040_h
9
10 #include "Arduino.h"
11 #include "Thread.h"
12
13 // defines for 5 bit _status value

```

```
14 #define AS5040_STATUS_OCF 0x10
15
16 class AS5040 : public Thread {
17 public:
18     float currAngle = 0;
19     float totalAngle = 0;
20
21     AS5040(byte pinCLK, byte pinCS, byte pinDO) {
22         _pinCLK = pinCLK;
23         _pinCS = pinCS;
24         _pinDO = pinDO;
25         _status = 0xFF; // invalid status
26     }
27
28     boolean begin() {
29         return begin(0);
30     }
31     boolean begin(byte mode) {
32         return begin(mode, false, 0);
33     };
34     boolean begin(byte mode, boolean reverse, unsigned int offset) {
35         pinMode(_pinCLK, OUTPUT);
36         digitalWrite(_pinCLK, HIGH);
37         pinMode(_pinCS, OUTPUT);
38         digitalWrite(_pinCS, HIGH);
39         pinMode(_pinDO, INPUT_PULLUP);
40
41         byte count = 0;
42         while (read(), (_status & AS5040_STATUS_OCF) == 0) {
43             if (count > 30)
44                 return false; // failed to initialize
45             delay(1);
46             count++;
47         }
48
49         _startAngle = convertAngle(read());
50         return true;
51     }
52
53     void run() {
54         currAngle = convertAngle(read());
55         correctAngle();
56         checkQuadrant();
57         runned();
58     }
59
60     byte status() {
61         return _status;
62     }
63
64     boolean valid() {
65         return _parity == 0 && (_status & 0x18) == 0x10 && (_status & 3) != 3;
66     }
67
68     int Zaxis() {
69         switch (_status & 0x3) {
70             case 0:
71                 return 0;
72             case 1:
73                 return -1;
```

```
74     case 2:
75         return +1;
76     default:
77         return 0;
78     };
79 }
80
81 private:
82 byte _pinCLK;
83 byte _pinCS;
84 byte _pinDO;
85
86 byte _status;
87 byte _parity;
88 float _startAngle;
89 float _noTurns = 0.;
90 float _normAngle = 0.;
91 int _quadrant[2] = { 0, 0 };
92
93 byte even_parity(byte val) {
94     val = (val >> 1) ^ val;
95     val = (val >> 2) ^ val;
96     val = (val >> 4) ^ val;
97     return val & 1;
98 }
99
100 unsigned int read() {
101     digitalWrite(_pinCS, LOW);
102     unsigned int value = 0;
103     for (byte i = 0; i < 10; i++) {
104         digitalWrite(_pinCLK, LOW);
105         digitalWrite(_pinCLK, HIGH);
106         value = (value << 1) | digitalRead(_pinDO);
107     }
108     byte status = 0;
109     for (byte i = 0; i < 6; i++) {
110         digitalWrite(_pinCLK, LOW);
111         digitalWrite(_pinCLK, HIGH);
112         status = (status << 1) | digitalRead(_pinDO);
113     }
114     digitalWrite(_pinCS, HIGH);
115     _parity = even_parity(value >> 2) ^ even_parity(value & 3) ^ even_parity(status);
116     _status = status >> 1;
117     return value;
118 }
119
120 float convertAngle(int value) {
121     return (float)value * 360. / 1023;
122 }
123
124 void correctAngle() {
125     _normAngle = currAngle - _startAngle;
126     _normAngle = (_normAngle < 0) ? _normAngle + 360 : _normAngle;
127 }
128
129 void checkQuadrant() {
130
131     //Q1
132     if (_normAngle >= 0 && _normAngle <= 90) _quadrant[1] = 1;
133
```



```

34 const uint8_t POSTAMBLE_SIZE = 2;
35 const uint8_t MAX_PACKET_SIZE = 0xFE; // Maximum allowed payload bytes per packet
36
37 const uint8_t DEFAULT_TIMEOUT = 50;
38
39
40 struct configST {
41     Stream* debugPort = &Serial;
42     bool debug = true;
43     const functionPtr* callbacks = NULL;
44     uint8_t callbacksLen = 0;
45     uint32_t timeout = __UINT32_MAX__;
46 };
47
48
49 class Packet {
50 public: // <<-----//public
51     uint8_t txBuff[MAX_PACKET_SIZE];
52     uint8_t rxBuff[MAX_PACKET_SIZE];
53     uint8_t preamble[PREAMBLE_SIZE] = { START_BYTE, 0, 0, 0 };
54     uint8_t postamble[POSTAMBLE_SIZE] = { 0, STOP_BYTE };
55
56     uint8_t bytesRead = 0;
57     int8_t status = 0;
58
59
60     void begin(const configST& configs);
61     void begin(const bool& _debug = true, Stream& _debugPort = Serial, const uint32_t& _timeout
        = DEFAULT_TIMEOUT);
62     uint8_t constructPacket(const uint16_t& messageLen, const uint8_t& packetID = 0);
63     uint8_t parse(const uint8_t& recChar, const bool& valid = true);
64     uint8_t currentPacketID();
65     void reset();
66
67
68     /*
69     uint16_t Packet::txObj(const T &val, const uint16_t &index=0, const uint16_t &len=sizeof(T)
        )
70     Description:
71     -----
72     * Stuffs "len" number of bytes of an arbitrary object (byte, int,
73     float, double, struct, etc...) into the transmit buffer (txBuff)
74     starting at the index as specified by the argument "index"
75
76     Inputs:
77     -----
78     * const T &val - Pointer to the object to be copied to the
79     transmit buffer (txBuff)
80     * const uint16_t &index - Starting index of the object within the
81     transmit buffer (txBuff)
82     * const uint16_t &len - Number of bytes of the object "val" to transmit
83
84     Return:
85     -----
86     * uint16_t maxIndex - uint16_t maxIndex - Index of the transmit buffer (txBuff) that
87     directly follows the bytes processed
88     by the calling of this member function
89     */
90     template<typename T>
91     uint16_t txObj(const T& val, const uint16_t& index = 0, const uint16_t& len = sizeof(T)) {

```

```

91     uint8_t* ptr = (uint8_t*)&val;
92     uint16_t maxIndex;
93
94     if ((len + index) > MAX_PACKET_SIZE)
95         maxIndex = MAX_PACKET_SIZE;
96     else
97         maxIndex = len + index;
98
99     for (uint16_t i = index; i < maxIndex; i++) {
100         txBuff[i] = *ptr;
101         ptr++;
102     }
103
104     return maxIndex;
105 }
106
107
108 /*
109  uint16_t Packet::rxObj(const T &val, const uint16_t &index=0, const uint16_t &len=sizeof(T)
110  )
111  Description:
112  -----
113  * Reads "len" number of bytes from the receive buffer (rxBuff)
114  starting at the index as specified by the argument "index"
115  into an arbitrary object (byte, int, float, double, struct, etc...)
116
117  Inputs:
118  -----
119  * const T &val - Pointer to the object to be copied into from the
120  receive buffer (rxBuff)
121  * const uint16_t &index - Starting index of the object within the
122  receive buffer (rxBuff)
123  * const uint16_t &len - Number of bytes in the object "val" received
124
125  Return:
126  -----
127  * uint16_t maxIndex - Index of the receive buffer (rxBuff) that directly follows the bytes
128  processed
129  by the calling of this member function
130  */
131 template<typename T>
132 uint16_t rxObj(const T& val, const uint16_t& index = 0, const uint16_t& len = sizeof(T)) {
133     uint8_t* ptr = (uint8_t*)&val;
134     uint16_t maxIndex;
135
136     if ((len + index) > MAX_PACKET_SIZE)
137         maxIndex = MAX_PACKET_SIZE;
138     else
139         maxIndex = len + index;
140
141     for (uint16_t i = index; i < maxIndex; i++) {
142         *ptr = rxBuff[i];
143         ptr++;
144     }
145
146     return maxIndex;
147 }
148 private: // <<-----//private

```

```

149  enum fsm {
150      find_start_byte,
151      find_id_byte,
152      find_overhead_byte,
153      find_payload_len,
154      find_payload,
155      find_crc,
156      find_end_byte
157  };
158  fsm state = find_start_byte;
159
160  const functionPtr* callbacks = NULL;
161  uint8_t callbacksLen = 0;
162
163  Stream* debugPort;
164  bool debug = false;
165
166  uint8_t bytesToRec = 0;
167  uint8_t payIndex = 0;
168  uint8_t idByte = 0;
169  uint8_t overheadByte = 0;
170  uint8_t recOverheadByte = 0;
171
172  uint32_t packetStart = 0;
173  uint32_t timeout;
174
175
176  void calcOverhead(uint8_t arr[], const uint8_t& len);
177  int16_t findLast(uint8_t arr[], const uint8_t& len);
178  void stuffPacket(uint8_t arr[], const uint8_t& len);
179  void unpackPacket(uint8_t arr[]);
180 };

```

Listing A.4 – Código Packet

```

1  #include "Packet.h"
2
3
4  PacketCRC crc;
5
6
7  /*
8  void Packet::begin(const configST& configs)
9  Description:
10 -----
11  * Advanced initializer for the Packet Class
12 Inputs:
13 -----
14  * const configST& configs - Struct that holds config
15  values for all possible initialization parameters
16 Return:
17 -----
18  * void
19 */
20 void Packet::begin(const configST& configs) {
21     debugPort = configs.debugPort;
22     debug = configs.debug;
23     callbacks = configs.callbacks;
24     callbacksLen = configs.callbacksLen;
25     timeout = configs.timeout;

```

```

26 }
27
28
29 /*
30 void Packet::begin(const bool& _debug, Stream& _debugPort, const uint32_t& _timeout)
31 Description:
32 -----
33 * Simple initializer for the Packet Class
34 Inputs:
35 -----
36 * const bool& _debug - Whether or not to print error messages
37 * Stream &_debugPort - Serial port to print error messages
38 * const uint32_t& _timeout - Number of ms to wait before
39 declaring packet parsing timeout
40 Return:
41 -----
42 * void
43 */
44 void Packet::begin(const bool& _debug, Stream& _debugPort, const uint32_t& _timeout) {
45     debugPort = &_debugPort;
46     debug = _debug;
47     timeout = _timeout;
48 }
49
50
51 /*
52 uint8_t Packet::constructPacket(const uint16_t& messageLen, const uint8_t& packetID)
53 Description:
54 -----
55 * Calculate, format, and insert the packet protocol metadata into the packet transmit
56 buffer
57 Inputs:
58 -----
59 * const uint16_t& messageLen - Number of values in txBuff
60 to send as the payload in the next packet
61 * const uint8_t& packetID - The packet 8-bit identifier
62 Return:
63 -----
64 * uint8_t - Number of payload bytes included in packet
65 */
66 uint8_t Packet::constructPacket(const uint16_t& messageLen, const uint8_t& packetID) {
67     if (messageLen > MAX_PACKET_SIZE) {
68         calcOverhead(txBuff, MAX_PACKET_SIZE);
69         stuffPacket(txBuff, MAX_PACKET_SIZE);
70         uint8_t crcVal = crc.calculate(txBuff, MAX_PACKET_SIZE);
71
72         preamble[1] = packetID;
73         preamble[2] = overheadByte;
74         preamble[3] = MAX_PACKET_SIZE;
75
76         postamble[0] = crcVal;
77
78         return MAX_PACKET_SIZE;
79     } else {
80         calcOverhead(txBuff, (uint8_t)messageLen);
81         stuffPacket(txBuff, (uint8_t)messageLen);
82         uint8_t crcVal = crc.calculate(txBuff, (uint8_t)messageLen);
83
84         preamble[1] = packetID;
85         preamble[2] = overheadByte;

```

```

86     preamble[3] = messageLen;
87
88     postamble[0] = crcVal;
89
90     return (uint8_t)messageLen;
91 }
92 }
93
94
95 /*
96 uint8_t Packet::parse(const uint8_t& recChar, const bool& valid)
97 Description:
98 -----
99 * Parses incoming serial data, analyzes packet contents,
100 and reports errors/successful packet reception. Executes
101 callback functions for parsed packets whos ID has a
102 corresponding callback function set via
103 "void Packet::begin(const configST configs)"
104 Inputs:
105 -----
106 * const uint8_t& recChar - Next char to parse in the stream
107 * const bool& valid - Set if stream is "available()" and clear if not
108 Return:
109 -----
110 * uint8_t - Num bytes in RX buffer
111 */
112
113 uint8_t Packet::parse(const uint8_t& recChar, const bool& valid) {
114     bool packet_fresh = (packetStart == 0) || ((millis() - packetStart) < timeout);
115
116     if (!packet_fresh) //packet is stale, start over.
117     {
118         if (debug)
119             debugPort->println("ERROR: STALE PACKET");
120
121         bytesRead = 0;
122         state = find_start_byte;
123         status = STALE_PACKET_ERROR;
124         packetStart = 0;
125
126         return bytesRead;
127     }
128
129     if (valid) {
130         switch (state) {
131             case find_start_byte: //////////////////////////////////////
132                 {
133                     if (recChar == START_BYTE) {
134                         state = find_id_byte;
135                         packetStart = millis(); //start the timer
136                     }
137
138                     break;
139                 }
140
141             case find_id_byte: //////////////////////////////////////
142                 {
143                     idByte = recChar;
144                     state = find_overhead_byte;
145                     break;

```

```
146     }
147
148     case find_overhead_byte: //////////////////////////////////////
149     {
150         recOverheadByte = recChar;
151         state = find_payload_len;
152         break;
153     }
154
155     case find_payload_len: //////////////////////////////////////
156     {
157         if ((recChar > 0) && (recChar <= MAX_PACKET_SIZE)) {
158             bytesToRec = recChar;
159             payIndex = 0;
160             state = find_payload;
161         } else {
162             bytesRead = 0;
163             state = find_start_byte;
164             status = PAYLOAD_ERROR;
165
166             if (debug)
167                 debugPort->println("ERROR: PAYLOAD_ERROR");
168
169             reset();
170             return bytesRead;
171         }
172         break;
173     }
174
175     case find_payload: //////////////////////////////////////
176     {
177         if (payIndex < bytesToRec) {
178             rxBuff[payIndex] = recChar;
179             payIndex++;
180
181             if (payIndex == bytesToRec)
182                 state = find_crc;
183         }
184         break;
185     }
186
187     case find_crc: //////////////////////////////////////
188     {
189         uint8_t calcCrc = crc.calculate(rxBuff, bytesToRec);
190
191         if (calcCrc == recChar)
192             state = find_end_byte;
193         else {
194             bytesRead = 0;
195             state = find_start_byte;
196             status = CRC_ERROR;
197
198             if (debug)
199                 debugPort->println("ERROR: CRC_ERROR");
200
201             reset();
202             return bytesRead;
203         }
204
205         break;
```

```
206     }
207
208     case find_end_byte: //////////////////////////////////////
209     {
210         state = find_start_byte;
211
212         if (recChar == STOP_BYTE) {
213             unpackPacket(rxBuff);
214             bytesRead = bytesToRec;
215             status = NEW_DATA;
216
217             if (callbacks) {
218                 if (idByte < callbacksLen)
219                     callbacks[idByte]();
220                 else if (debug) {
221                     debugPort->print(F("ERROR: No callback available for packet ID "));
222                     debugPort->println(idByte);
223                 }
224             }
225             packetStart = 0; // reset the timer
226             return bytesToRec;
227         }
228
229         bytesRead = 0;
230         status = STOP_BYTE_ERROR;
231
232         if (debug)
233             debugPort->println("ERROR: STOP_BYTE_ERROR");
234
235         reset();
236         return bytesRead;
237         break;
238     }
239
240     default:
241     {
242         if (debug) {
243             debugPort->print("ERROR: Undefined state ");
244             debugPort->println(state);
245         }
246
247         reset();
248         bytesRead = 0;
249         state = find_start_byte;
250         break;
251     }
252 }
253 } else {
254     bytesRead = 0;
255     status = NO_DATA;
256     return bytesRead;
257 }
258
259 bytesRead = 0;
260 status = CONTINUE;
261 return bytesRead;
262 }
263
264
265 /*
```

```
266 uint8_t Packet::currentPacketID()
267 Description:
268 -----
269 * Returns the ID of the last parsed packet
270 Inputs:
271 -----
272 * void
273 Return:
274 -----
275 * uint8_t - ID of the last parsed packet
276 */
277 uint8_t Packet::currentPacketID() {
278     return idByte;
279 }
280
281
282 /*
283 void Packet::calcOverhead(uint8_t arr[], const uint8_t &len)
284 Description:
285 -----
286 * Calculates the COBS (Consistent Overhead Stuffing) Overhead
287 byte and stores it in the class's overheadByte variable. This
288 variable holds the byte position (within the payload) of the
289 first payload byte equal to that of START_BYTE
290 Inputs:
291 -----
292 * uint8_t arr[] - Array of values the overhead is to be calculated
293 over
294 * const uint8_t &len - Number of elements in arr[]
295 Return:
296 -----
297 * void
298 */
299 void Packet::calcOverhead(uint8_t arr[], const uint8_t& len) {
300     overheadByte = 0xFF;
301
302     for (uint8_t i = 0; i < len; i++) {
303         if (arr[i] == START_BYTE) {
304             overheadByte = i;
305             break;
306         }
307     }
308 }
309
310
311 /*
312 int16_t Packet::findLast(uint8_t arr[], const uint8_t &len)
313 Description:
314 -----
315 * Finds last instance of the value START_BYTE within the given
316 packet array
317 Inputs:
318 -----
319 * uint8_t arr[] - Packet array
320 * const uint8_t &len - Number of elements in arr[]
321 Return:
322 -----
323 * int16_t - Index of last instance of the value START_BYTE within the given
324 packet array
325 */
```

```

326 int16_t Packet::findLast(uint8_t arr[], const uint8_t& len) {
327     for (uint8_t i = (len - 1); i != 0xFF; i--)
328         if (arr[i] == START_BYTE)
329             return i;
330
331     return -1;
332 }
333
334
335 /*
336 void Packet::stuffPacket(uint8_t arr[], const uint8_t &len)
337 Description:
338 -----
339 * Enforces the COBS (Consistent Overhead Stuffing) ruleset across
340 all bytes in the packet against the value of START_BYTE
341 Inputs:
342 -----
343 * uint8_t arr[] - Array of values to stuff
344 * const uint8_t &len - Number of elements in arr[]
345 Return:
346 -----
347 * void
348 */
349 void Packet::stuffPacket(uint8_t arr[], const uint8_t& len) {
350     int16_t refByte = findLast(arr, len);
351
352     if (refByte != -1) {
353         for (uint8_t i = (len - 1); i != 0xFF; i--) {
354             if (arr[i] == START_BYTE) {
355                 arr[i] = refByte - i;
356                 refByte = i;
357             }
358         }
359     }
360 }
361
362
363 /*
364 void Packet::unpackPacket(uint8_t arr[], const uint8_t &len)
365 Description:
366 -----
367 * Unpacks all COBS-stuffed bytes within the array
368 Inputs:
369 -----
370 * uint8_t arr[] - Array of values to unpack
371 * const uint8_t &len - Number of elements in arr[]
372 Return:
373 -----
374 * void
375 */
376 void Packet::unpackPacket(uint8_t arr[]) {
377     uint8_t testIndex = recOverheadByte;
378     uint8_t delta = 0;
379
380     if (testIndex <= MAX_PACKET_SIZE) {
381         while (arr[testIndex]) {
382             delta = arr[testIndex];
383             arr[testIndex] = START_BYTE;
384             testIndex += delta;
385         }

```

```

386     arr[testIndex] = START_BYTE;
387 }
388 }
389
390
391 /*
392 void Packet::reset()
393 Description:
394 -----
395 * Clears out the tx, and rx buffers, plus resets
396 the "bytes read" variable, finite state machine, etc
397 Inputs:
398 -----
399 * void
400 Return:
401 -----
402 * void
403 */
404 void Packet::reset() {
405     memset(txBuff, 0, sizeof(txBuff));
406     memset(rxBuff, 0, sizeof(rxBuff));
407
408     bytesRead = 0;
409     status = CONTINUE;
410     packetStart = 0;
411 }

```

### Listing A.5 – Código Header Packet CRC

```

1 #pragma once
2 #include "Arduino.h"
3
4
5 class PacketCRC {
6 public: // <<-----//public
7     uint8_t poly = 0;
8
9
10 PacketCRC(const uint8_t& polynomial = 0x9B, const uint8_t& crcLen = 8) {
11     poly = polynomial;
12     crcLen_ = crcLen;
13     tableLen_ = pow(2, crcLen);
14     csTable = new uint8_t[tableLen_];
15
16     generateTable();
17 }
18
19 void generateTable() {
20     for (uint16_t i = 0; i < tableLen_; ++i) {
21         int curr = i;
22
23         for (int j = 0; j < 8; ++j) {
24             if ((curr & 0x80) != 0)
25                 curr = (curr << 1) ^ (int)poly;
26             else
27                 curr <<= 1;
28         }
29
30         csTable[i] = (byte)curr;
31     }

```

```

32 }
33
34 void printTable() {
35     for (uint16_t i = 0; i < tableLen_; i++) {
36         Serial.print(csTable[i], HEX);
37
38         if ((i + 1) % 16)
39             Serial.print(' ');
40         else
41             Serial.println();
42     }
43 }
44
45 uint8_t calculate(const uint8_t& val) {
46     if (val < tableLen_)
47         return csTable[val];
48     return 0;
49 }
50
51 uint8_t calculate(uint8_t arr[], uint8_t len) {
52     uint8_t crc = 0;
53     for (uint16_t i = 0; i < len; i++)
54         crc = csTable[crc ^ arr[i]];
55
56     return crc;
57 }
58
59
60 private: // <<-----//private
61     uint16_t tableLen_;
62     uint8_t crcLen_;
63     uint8_t* csTable;
64 };
65
66
67 extern PacketCRC crc;

```

Listing A.6 – Código Header Serial Transfer

```

1 #pragma once
2 #include "Arduino.h"
3 #include "Packet.h"
4
5
6 class SerialTransfer {
7 public: // <<-----//public
8     Packet packet;
9     uint8_t bytesRead = 0;
10    int8_t status = 0;
11
12
13    void begin(Stream& _port, const configST configs);
14    void begin(Stream& _port, const bool _debug = true, Stream& _debugPort = Serial, uint32_t
        _timeout = DEFAULT_TIMEOUT);
15    uint8_t sendData(const uint16_t& messageLen, const uint8_t packetID = 0);
16    uint8_t available();
17    bool tick();
18    uint8_t currentPacketID();
19    void reset();
20

```

```

21
22  /*
23  uint16_t SerialTransfer::txObj(const T &val, const uint16_t &index=0, const uint16_t &len=
    sizeof(T))
24  Description:
25  -----
26  * Stuffs "len" number of bytes of an arbitrary object (byte, int,
27  float, double, struct, etc...) into the transmit buffer (txBuff)
28  starting at the index as specified by the argument "index"
29  Inputs:
30  -----
31  * const T &val - Pointer to the object to be copied to the
32  transmit buffer (txBuff)
33  * const uint16_t &index - Starting index of the object within the
34  transmit buffer (txBuff)
35  * const uint16_t &len - Number of bytes of the object "val" to transmit
36  Return:
37  -----
38  * uint16_t maxIndex - uint16_t maxIndex - Index of the transmit buffer (txBuff) that
    directly follows the bytes processed
39  by the calling of this member function
40  */
41  template<typename T>
42  uint16_t txObj(const T& val, const uint16_t& index = 0, const uint16_t& len = sizeof(T)) {
43      return packet.txObj(val, index, len);
44  }
45
46
47  /*
48  uint16_t SerialTransfer::rxObj(const T &val, const uint16_t &index=0, const uint16_t &len=
    sizeof(T))
49  Description:
50  -----
51  * Reads "len" number of bytes from the receive buffer (rxBuff)
52  starting at the index as specified by the argument "index"
53  into an arbitrary object (byte, int, float, double, struct, etc...)
54  Inputs:
55  -----
56  * const T &val - Pointer to the object to be copied into from the
57  receive buffer (rxBuff)
58  * const uint16_t &index - Starting index of the object within the
59  receive buffer (rxBuff)
60  * const uint16_t &len - Number of bytes in the object "val" received
61  Return:
62  -----
63  * uint16_t maxIndex - Index of the receive buffer (rxBuff) that directly follows the bytes
    processed
64  by the calling of this member function
65  */
66  template<typename T>
67  uint16_t rxObj(const T& val, const uint16_t& index = 0, const uint16_t& len = sizeof(T)) {
68      return packet.rxObj(val, index, len);
69  }
70
71
72  /*
73  uint8_t SerialTransfer::sendDatum(const T &val, const uint16_t &len=sizeof(T))
74  Description:
75  -----
76  * Stuffs "len" number of bytes of an arbitrary object (byte, int,

```

```

77     float, double, struct, etc...) into the transmit buffer (txBuff)
78     starting at the index as specified by the argument "index" and
79     automatically transmits the bytes in an individual packet
80     Inputs:
81     -----
82     * const T &val - Pointer to the object to be copied to the
83     transmit buffer (txBuff)
84     * const uint16_t &len - Number of bytes of the object "val" to transmit
85     Return:
86     -----
87     * uint8_t - Number of payload bytes included in packet
88     */
89     template<typename T>
90     uint8_t sendData(const T& val, const uint16_t& len = sizeof(T)) {
91         return sendData(packet.txObj(val, 0, len));
92     }
93
94
95 private: // <<-----//private
96     Stream* port;
97     uint32_t timeout;
98 };

```

### Listing A.7 – Código Serial Transfer

```

1 #include "SerialTransfer.h"
2
3
4 /*
5 void SerialTransfer::begin(Stream &_port, configST configs)
6 Description:
7 -----
8 * Advanced initializer for the SerialTransfer Class
9 Inputs:
10 -----
11 * const Stream &_port - Serial port to communicate over
12 * const configST configs - Struct that holds config
13 values for all possible initialization parameters
14 Return:
15 -----
16 * void
17 */
18 void SerialTransfer::begin(Stream& _port, const configST configs) {
19     port = &_amp;port;
20     packet.begin(configs);
21 }
22
23
24 /*
25 void SerialTransfer::begin(Stream &_port, const bool _debug, Stream &_debugPort)
26 Description:
27 -----
28 * Simple initializer for the SerialTransfer Class
29 Inputs:
30 -----
31 * const Stream &_port - Serial port to communicate over
32 * const bool _debug - Whether or not to print error messages
33 * const Stream &_debugPort - Serial port to print error messages
34 Return:
35 -----

```

```

36  * void
37  */
38  void SerialTransfer::begin(Stream& _port, const bool _debug, Stream& _debugPort, uint32_t
    _timeout) {
39  port = &_amp;port;
40  timeout = _timeout;
41  packet.begin(_debug, _debugPort, _timeout);
42  }
43
44
45  /*
46  uint8_t SerialTransfer::sendData(const uint16_t &messageLen, const uint8_t packetID)
47  Description:
48  -----
49  * Send a specified number of bytes in packetized form
50  Inputs:
51  -----
52  * const uint16_t &messageLen - Number of values in txBuff
53  to send as the payload in the next packet
54  * const uint8_t packetID - The packet 8-bit identifier
55  Return:
56  -----
57  * uint8_t numBytesIncl - Number of payload bytes included in packet
58  */
59  uint8_t SerialTransfer::sendData(const uint16_t& messageLen, const uint8_t packetID) {
60  uint8_t numBytesIncl;
61
62  numBytesIncl = packet.constructPacket(messageLen, packetID);
63  port->write(packet.preamble, sizeof(packet.preamble));
64  port->write(packet.txBuff, numBytesIncl);
65  port->write(packet.postamble, sizeof(packet.postamble));
66
67  return numBytesIncl;
68  }
69
70
71  /*
72  uint8_t SerialTransfer::available()
73  Description:
74  -----
75  * Parses incoming serial data, analyzes packet contents,
76  and reports errors/successful packet reception
77  Inputs:
78  -----
79  * void
80  Return:
81  -----
82  * uint8_t bytesRead - Num bytes in RX buffer
83  */
84  uint8_t SerialTransfer::available() {
85  bool valid = false;
86  uint8_t recChar = 0xFF;
87
88  if (port->available()) {
89  valid = true;
90
91  while (port->available()) {
92  recChar = port->read();
93
94  bytesRead = packet.parse(recChar, valid);

```

```
95     status = packet.status;
96
97     if (status != CONTINUE) {
98         if (status < 0)
99             reset();
100
101         break;
102     }
103 }
104 } else {
105     bytesRead = packet.parse(recChar, valid);
106     status = packet.status;
107
108     if (status < 0)
109         reset();
110 }
111
112 return bytesRead;
113 }
114
115
116 /*
117 bool SerialTransfer::tick()
118 Description:
119 -----
120 * Checks to see if any packets have been fully parsed. This
121 is basically a wrapper around the method "available()" and
122 is used primarily in conjunction with callbacks
123 Inputs:
124 -----
125 * void
126 Return:
127 -----
128 * bool - Whether or not a full packet has been parsed
129 */
130 bool SerialTransfer::tick() {
131     if (available())
132         return true;
133
134     return false;
135 }
136
137
138 /*
139 uint8_t SerialTransfer::currentPacketID()
140 Description:
141 -----
142 * Returns the ID of the last parsed packet
143 Inputs:
144 -----
145 * void
146 Return:
147 -----
148 * uint8_t - ID of the last parsed packet
149 */
150 uint8_t SerialTransfer::currentPacketID() {
151     return packet.currentPacketID();
152 }
153
154
```

```

155 /*
156 void SerialTransfer::reset()
157 Description:
158 -----
159 * Clears out the tx, and rx buffers, plus resets
160 the "bytes read" variable, finite state machine, etc
161 Inputs:
162 -----
163 * void
164 Return:
165 -----
166 * void
167 */
168 void SerialTransfer::reset() {
169     while (port->available())
170         port->read();
171
172     packet.reset();
173     status = packet.status;
174 }

```

### Listing A.8 – Código Header PID

```

1 class PID {
2 private:
3     float _kp, _ki, _kd;           // Parameters
4     float _eprev, _eintegral;     // Storage
5     float _umin, _umax;          // Anti-wind up clamp limits
6     float _target = 0;
7
8 public:
9     // Constructor
10    PID()
11        : _kp(1), _ki(0), _kd(0), _eprev(0.0),
12          _eintegral(0.0), _umin(-1), _umax(1) {}
13
14    // A function to set the parameters
15    void setParams(float kpIn, float kiIn, float kdIn, float uminIn, float umaxIn) {
16        _kp = kpIn;
17        _ki = kiIn;
18        _kd = kdIn;
19        _umin = uminIn;
20        _umax = umaxIn;
21    }
22
23    float setTarget(float target) {
24        _target = target;
25    }
26
27    // A function to compute the control signal
28    float eval(float value, float dt) {
29        // Compute error
30        float e = _target - value;
31        float dedt = (e - _eprev) / (dt);
32        _eprev = e; // store previous error
33
34        float eintegralUpdate = _eintegral + e * dt;
35
36        // Evaluate the control signal
37        float u = _kp * e + _ki * eintegralUpdate + _kd * dedt;

```

```

38
39 // Anti-wind up clamping
40 // If either of the first two conditions are true
41 // The integral is not updated
42 if (u < _umin) {
43     u = _umin;
44 } else if (u > _umax) {
45     u = _umax;
46 } else {
47     // Otherwise update the integral
48     _eintegral = eintegralUpdate;
49 }
50 return u;
51 }
52 };

```

### Listing A.9 – Código Header Platform

```

1 class Platform {
2 public:
3     Platform(byte PWM, byte LPWM, byte RPWM) {
4         _pinPWM = PWM;
5         _pinLPWM = LPWM;
6         _pinRPWM = RPWM;
7     }
8
9     void motorRun() {
10        analogWrite(_pinPWM, abs(_valSpeed)); // PWM signal on H-Bridge signal
11        if (_valSpeed < 0) { // CW Rotation
12            digitalWrite(_pinRPWM, HIGH);
13            digitalWrite(_pinLPWM, LOW);
14        } else if (_valSpeed > 0) { // CCW Rotation
15            digitalWrite(_pinRPWM, LOW);
16            digitalWrite(_pinLPWM, HIGH);
17        } else { // Disable Rotation
18            digitalWrite(_pinRPWM, LOW);
19            digitalWrite(_pinLPWM, LOW);
20        }
21    }
22
23    void turnOff() {
24        analogWrite(_pinPWM, 0); // PWM signal on H-Bridge signal
25        digitalWrite(_pinRPWM, LOW);
26        digitalWrite(_pinLPWM, LOW);
27    }
28
29    void setSpeed(float speed) {
30        _valSpeed = speed;
31    }
32
33 private:
34     byte _pinPWM;
35     byte _pinLPWM;
36     byte _pinRPWM;
37
38     float _valSpeed = 0;
39 };

```

## Listing A.10 – Código Header Thread

```
1  /*
2   Thread.h - An runnable object
3
4   Thread is responsible for holding the "action" for something,
5   also, it responds if it "should" or "should not" run, based on
6   the current time;
7
8   For instructions, go to https://github.com/ivanseidel/ArduinoThread
9
10  Created by Ivan Seidel Gomes, March, 2013.
11  Released into the public domain.
12 */
13
14 #ifndef Thread_h
15 #define Thread_h
16
17 #if defined(ARDUINO) && ARDUINO >= 100
18 #include <Arduino.h>
19 #else
20 #include <WProgram.h>
21 #endif
22
23 #include <inttypes.h>
24
25 /*
26  Uncomment this line to enable ThreadName Strings.
27
28  It might be usefull if you are logging thread with Serial,
29  or displaying a list of threads...
30 */
31 // #define USE_THREAD_NAMES 1
32
33 class Thread {
34 protected:
35   // Desired interval between runs
36   unsigned long interval;
37
38   // Last runned time in Ms
39   unsigned long last_run;
40
41   // Scheduled run in Ms (MUST BE CACHED)
42   unsigned long _cached_next_run;
43
44   /*
45    IMPORTANT! Run after all calls to run()
46    Updates last_run and cache next run.
47    NOTE: This MUST be called if extending
48    this class and implementing run() method
49   */
50   void runned(unsigned long time);
51
52   // Default is to mark it runned "now"
53   void runned() {
54     runned(millis());
55   }
56
57   // Callback for run() if not implemented
58   void (*_onRun)(void);
```

```

59
60 public:
61
62 // If the current Thread is enabled or not
63 bool enabled;
64
65 // ID of the Thread (initialized from memory adr.)
66 int ThreadID;
67
68 #ifdef USE_THREAD_NAMES
69 // Thread Name (used for better UI).
70 String ThreadName;
71 #endif
72
73 Thread(void (*callback)(void) = NULL, unsigned long _interval = 0);
74
75 // Set the desired interval for calls, and update _cached_next_run
76 virtual void setInterval(unsigned long _interval);
77
78 // Return if the Thread should be runned or not
79 virtual bool shouldRun(unsigned long time);
80
81 // Default is to check whether it should run "now"
82 bool shouldRun() {
83     return shouldRun(millis());
84 }
85
86 // Callback set
87 void onRun(void (*callback)(void));
88
89 // Runs Thread
90 virtual void run();
91 };
92
93 #endif

```

### Listing A.11 – Código Thread

```

1 #include "Thread.h"
2
3 Thread::Thread(void (*callback)(void), unsigned long _interval) {
4     enabled = true;
5     onRun(callback);
6     _cached_next_run = 0;
7     last_run = millis();
8
9     ThreadID = (int)this;
10 #ifdef USE_THREAD_NAMES
11     ThreadName = "Thread ";
12     ThreadName = ThreadName + ThreadID;
13 #endif
14
15     setInterval(_interval);
16 };
17
18 void Thread::runned(unsigned long time) {
19     // Saves last_run
20     last_run = time;
21
22     // Cache next run

```

```

23  _cached_next_run = last_run + interval;
24 }
25
26 void Thread::setInterval(unsigned long _interval) {
27     // Save interval
28     interval = _interval;
29
30     // Cache the next run based on the last_run
31     _cached_next_run = last_run + interval;
32 }
33
34 bool Thread::shouldRun(unsigned long time) {
35     // If the "sign" bit is set the signed difference would be negative
36     bool time_remaining = (time - _cached_next_run) & 0x80000000;
37
38     // Exceeded the time limit, AND is enabled? Then should run...
39     return !time_remaining && enabled;
40 }
41
42 void Thread::onRun(void (*callback)(void)) {
43     _onRun = callback;
44 }
45
46 void Thread::run() {
47     if (_onRun != NULL)
48         _onRun();
49
50     // Update last_run and _cached_next_run
51     runned();
52 }

```

### Listing A.12 – Código Header Thread Controller

```

1  /*
2   ThreadController.h - Controls a list of Threads with different timings
3
4   Basically, what it does is to keep track of current Threads and run when
5   necessary.
6
7   ThreadController is an extended class of Thread, because of that,
8   it allows you to add a ThreadController inside another ThreadController...
9
10  For instructions, go to https://github.com/ivanseidel/ArduinoThread
11
12  Created by Ivan Seidel Gomes, March, 2013.
13  Released into the public domain.
14 */
15
16 #ifndef ThreadController_h
17 #define ThreadController_h
18
19 #include "Thread.h"
20 #include "inttypes.h"
21
22 #define MAX_THREADS 15
23
24 class ThreadController : public Thread {
25 protected:
26     Thread* thread[MAX_THREADS];
27     int cached_size;

```

```
28 public:
29   ThreadController(unsigned long _interval = 0);
30
31   // run() Method is overridden
32   void run();
33
34   // Adds a thread in the first available slot (remove first)
35   // Returns if the Thread could be added or not
36   bool add(Thread* _thread);
37
38   // remove the thread (given the Thread* or ThreadID)
39   void remove(int _id);
40   void remove(Thread* _thread);
41
42   // Removes all threads
43   void clear();
44
45   // Return the quantity of Threads
46   int size(bool cached = true);
47
48   // Return the I Thread on the array
49   // Returns NULL if none found
50   Thread* get(int index);
51 };
52
53 #endif
```

# APÊNDICE B – Python - Aquisição

Listing B.1 – Código Amostragem de Dados - Plataforma

```

1  ###
2  import numpy as np
3  import matplotlib.pyplot as plt
4  import matplotlib
5
6  from TauLidarCommon.frame import FrameType, Frame
7  from TauLidarCamera.camera import Camera
8  from TauLidarCamera.constants import VALUE_20MHZ
9  from TauLidarCommon.color import ColorMode
10
11 from time import sleep
12 from pySerialTransfer import pySerialTransfer as txfer
13
14 import pickle as pk
15
16 ###
17 Camera.setColorMode(ColorMode.DISTANCE)    ## use distance for point color
18 Camera.setRange(0, 4000)                  ## points in the distance range to be colored
19
20 camera = Camera.open()
21 cameraInfo = camera.info()
22 print("\nToF camera opened successfully:")
23
24 print("  model:      %s" % cameraInfo.model)
25 print("  firmware:   %s" % cameraInfo.firmware)
26 print("  uid:         %s" % cameraInfo.uid)
27 print("  resolution: %s" % cameraInfo.resolution)
28 print("  port:        %s" % cameraInfo.port)
29
30 camera.setModulationFrequency(VALUE_20MHZ) ## frequency: 20MHZ
31 camera.setModulationChannel(0)             ## autoChannelEnabled: 0, channel: 0
32 camera.setMode(0)                          ## Mode 0, wide fov
33 camera.setHdr(0)                            ## HDR off
34 camera.setIntegrationTime3d(0, 1000)        ## set integration time 0: 1000
35 camera.setMinimalAmplitude(0, 5)           ## set minimal amplitude 0: 80
36 camera.setOffset(0)                         ## set distance offset: 0
37 camera.setRoi(0, 0, 159, 59)               ## set ROI to max width and height
38
39 # ###
40 if __name__ == '__main__':
41     link = txfer.SerialTransfer('/dev/cu.usbserial-14140', baud=115200)
42     link.open()
43     sleep(5)
44
45     for i in range(100):
46         sendSize = 0
47         sendSize = link.tx_obj(1, start_pos=sendSize, val_type_override='H')
48         sendSize = link.tx_obj(255., start_pos=sendSize, val_type_override='f')
49         link.send(sendSize)
50
51     for i in range(100):
52         sendSize = 0

```

```

53     sendSize = link.tx_obj(2, start_pos=sendSize, val_type_override='H')
54     sendSize = link.tx_obj(80., start_pos=sendSize, val_type_override='f')
55     link.send(sendSize)
56
57     try:
58         encoder = []
59         scan = []
60         while True:
61             if link.available():
62                 frame = camera.readFrameRawData(frameType=FrameType.DISTANCE)
63                 scan.append(frame)
64
65                 recSize = 0
66                 _ = link.rx_obj(obj_type='H', start_pos=recSize)
67                 recSize += txfer.STRUCT_FORMAT_LENGTHS['H']
68                 encoder.append(link.rx_obj(obj_type='f', start_pos=recSize))
69
70         except KeyboardInterrupt:
71             with open('scan4.pkl', 'wb') as fpkl:
72                 pk.dump(scan, fpkl)
73
74             with open('encoder4.pkl', 'wb') as fpkl:
75                 pk.dump(encoder, fpkl)
76
77         finally:
78             for i in range(100):
79                 sendSize = 0
80                 sendSize = link.tx_obj(1, start_pos=sendSize, val_type_override='H')
81                 sendSize = link.tx_obj(0., start_pos=sendSize, val_type_override='f')
82                 link.send(sendSize)
83 # %%

```

### Listing B.2 – Código Amostragem de Dados - Visualização

```

1  #%%
2  from ast import Pass
3  import numpy as np
4  import matplotlib.pyplot as plt
5  import matplotlib
6
7  from TauLidarCommon.frame import FrameType, Frame
8  from TauLidarCamera.camera import Camera
9  from TauLidarCamera.constants import VALUE_20MHZ
10 from TauLidarCommon.color import ColorMode
11
12 from time import sleep
13 from pySerialTransfer import pySerialTransfer as txfer
14
15 import pickle as pk
16 import time
17
18 #%%
19 Camera.setColorMode(ColorMode.DISTANCE)    ## use distance for point color
20 Camera.setRange(0, 4000)                  ## points in the distance range to be colored
21
22 camera = Camera.open()
23 cameraInfo = camera.info()
24 print("\nToF camera opened successfully:")
25
26 print("    model:        %s" % cameraInfo.model)

```

```
27 print("    firmware:    %s" % cameraInfo.firmware)
28 print("    uid:        %s" % cameraInfo.uid)
29 print("    resolution: %s" % cameraInfo.resolution)
30 print("    port:         %s" % cameraInfo.port)
31
32 camera.setModulationFrequency(VALUE_20MHZ) ## frequency: 20MHZ
33 camera.setModulationChannel(0)           ## autoChannelEnabled: 0, channel: 0
34 camera.setMode(0)                       ## Mode 0, wide fov
35 camera.setHdr(0)                        ## HDR off
36 camera.setIntegrationTime3d(0, 600)     ## set integration time 0: 1000
37 camera.setMinimalAmplitude(0, 60)      ## set minimal amplitude 0: 80
38 camera.setOffset(0)                    ## set distance offset: 0
39 camera.setRoi(0, 0, 159, 59)
40
41 ###
42 from matplotlib.animation import FuncAnimation
43
44 def my_function(i):
45     # clear axis
46     #for ax in axs: ax.cla()
47     axs.cla()
48
49     # plot cpu
50     frames.append(camera.readFrame(frameType=FrameType.DISTANCE))
51     array = np.array(frames[-1].points_3d)[:,:3]
52
53     axs.scatter(array[:,1], array[:,0], s=.5, cmap='winter', c=array[:,-1])
54     #axs[0].scatter(array[:,1], array[:,0], s=.5, cmap='winter', c=array[:,-1])
55     #axs[1].scatter(array[:,2], array[:,1], s=.5)
56     #axs[2].scatter(array[:,2], array[:,0], s=.5)
57
58     # fix axis
59     axs.axis('equal')
60     #for ax in axs: ax.axis('equal')
61
62 if __name__=='__main__':
63     try:
64         frames = []
65         fig, axs = plt.subplots(1,1)
66         ani = FuncAnimation(fig, my_function, interval=80)
67         plt.show()
68
69     except:
70         with open(f'{time.time_ns()}.pk1', 'wb') as fpk1:
71             pk.dump(frames, fpk1)
72
73     finally:
74         with open(f'{time.time_ns()}.pk1', 'wb') as fpk1:
75             pk.dump(frames, fpk1)
```

# APÊNDICE C – Python - Processamento

Listing C.1 – Código Processamento Nuvem de Pontos

```

1  """
2  from TaulidarCommon.frame import FrameType, Frame
3  from TaulidarCamera.camera import Camera
4  from cv2 import transform
5  import matplotlib.pyplot as plt
6  import pickle as pk
7  import numpy as np
8  import open3d as o3d
9  import copy
10
11 from tqdm.auto import tqdm
12
13 treg = o3d.t.pipelines.registration
14 FORMAT = 'pdf'
15
16 """
17 with open('PCDs/1665258639409838000.pkl', 'rb') as fpkl:
18     loaded_data = pk.load(fpkl)
19
20 """
21 def showPointCloud(frame):
22     array = np.array(frame.points_3d)[:,:3]
23     pcd = o3d.geometry.PointCloud()
24     pcd.points = o3d.utility.Vector3dVector(array)
25     #o3d.visualization.draw_geometries([pcd])
26     return pcd
27
28 pcds = []
29 for frame in loaded_data:
30     pcds.append(showPointCloud(frame))
31
32 """ Down Sample
33 def down_sample(pcd):
34     pcd_down = pcd.voxel_down_sample(voxel_size = 0.08)
35     o3d.visualization.draw_geometries([pcd_down])
36     return pcd_down
37
38 # """
39 def display_inlier_outlier(pcd, ind):
40     inlier_cloud = pcd.select_by_index(ind)
41     outlier_cloud = pcd.select_by_index(ind, invert = True)
42     outlier_cloud.paint_uniform_color([1, 0, 0])
43     inlier_cloud.paint_uniform_color([0.8, 0.8, 0.8])
44     #o3d.visualization.draw_geometries([inlier_cloud, outlier_cloud])
45
46 # """
47 pcd_no = []
48 for n, pcd in enumerate(pcds):
49     c1, ind = pcd.remove_statistical_outlier(nb_neighbors = 30, std_ratio = .3)
50     if n % 5 == 0: display_inlier_outlier(pcd, ind)
51     pcd_no.append(pcd.select_by_index(ind))
52

```

```

53 pcd_no_cut = []
54 for n, pcd in enumerate(pcd_no):
55     points = np.asarray(pcd.points)
56     pcdCut = o3d.geometry.PointCloud()
57     pcdCut.points = o3d.utility.Vector3dVector(points[(points[:,2]>0.63)&(points[:,0]>-.35)])
58     pcd_no_cut.append(pcdCut)
59
60 ###
61 def alignPCD(source, target, down_sample=0.005, std=10, nb=20, ansatz=np.eye(4)):
62     source = copy.deepcopy(source)
63     target = copy.deepcopy(target)
64
65     criteria_list = [treg.ICPConvergenceCriteria(i, i, int(j)) for i,j in zip(10*np.linspace
66 (-1.3,-7,100), 10*np.linspace(2,4,100))]
67     voxel_sizes = o3d.utility.DoubleVector((10*np.linspace(-0.3, -2, 100)).tolist())
68     max_correspondence_distances = o3d.utility.DoubleVector((10*np.linspace(-.22,-1.7,100)).
69     tolist())
70     estimation = treg.TransformationEstimationPointToPlane()
71
72     target.estimate_normals(search_param=o3d.geometry.KDTreeSearchParamHybrid(radius=0.05,
73     max_nn=500))
74     source.estimate_normals(search_param=o3d.geometry.KDTreeSearchParamHybrid(radius=0.05,
75     max_nn=500))
76     target.orient_normals_consistent_tangent_plane(k=500)
77     source.orient_normals_consistent_tangent_plane(k=500)
78
79     temp1 = o3d.t.geometry.PointCloud().from_legacy(target)
80     temp2 = o3d.t.geometry.PointCloud().from_legacy(source)
81
82     registration_ms_icp = treg.multi_scale_icp(temp2, temp1, voxel_sizes,
83     criteria_list,
84     max_correspondence_distances,
85     ansatz, estimation, True)
86
87     transformation = registration_ms_icp.transformation.numpy()
88     temp2.transform(registration_ms_icp.transformation)
89     source = temp2.to_legacy()
90
91     points = np.concatenate((np.asarray(target.points), np.asarray(source.points)), axis=0)
92     target = o3d.geometry.PointCloud()
93     target.points = o3d.utility.Vector3dVector(points)
94     c1, ind = target.remove_statistical_outlier(nb_neighbors = nb, std_ratio = std)
95     target = target.select_by_index(ind)
96     target = target.voxel_down_sample(down_sample)
97     return target, transformation
98
99 ###
100 stepSize = 10
101 final_pcd = []
102 for n in tqdm(range(0, len(pcd_no_cut), stepSize)):
103     target = pcd_no_cut[n]
104     ansatz = np.eye(4)
105     for pcd in tqdm(pcd_no_cut[n+1:n+1+stepSize], leave=False):
106         try:
107             target, ansatz = alignPCD(pcd, target, down_sample=0.01, ansatz=ansatz)
108         except:
109             continue
110     final_pcd.append(copy.deepcopy(target))
111
112 ###

```

```

109 fig, axs = plt.subplots(7, 5, figsize=(10,15))
110 axs = axs.flatten()
111
112 for ax,pcd in zip(axs,final_pcd):
113     points = np.asarray(pcd.points)
114     ax.scatter(points[:,1],points[:,0],c=points[:,2],cmap='winter',s=.1)
115     ax.axis('equal')
116     ax.axis('off')
117
118 plt.savefig(f'pointcloud-reco1-10.{FORMAT}', bbox_inches='tight', dpi=1000)
119
120 """
121 stepSize = 5
122 iter_pcd = []
123 for n in tqdm(range(0, len(final_pcd), stepSize)):
124     target = final_pcd[n]
125     ansatz = np.eye(4)
126     for pcd in tqdm(final_pcd[n+1:n+1+stepSize], leave=False):
127         try:
128             target, ansatz = alignPCD(pcd, target, down_sample=0.01, ansatz=ansatz)
129         except:
130             continue
131     iter_pcd.append(copy.deepcopy(target))
132
133 """
134 fig, axs = plt.subplots(1, 7, figsize=(10,3))
135 axs = axs.flatten()
136
137 for ax,pcd in zip(axs,iter_pcd):
138     points = np.asarray(pcd.points)
139     ax.scatter(points[:,1],points[:,0],c=points[:,2],cmap='winter',s=.1)
140     ax.axis('equal')
141     ax.axis('off')
142
143 plt.subplots_adjust(hspace=0, wspace=0)
144 plt.savefig(f'pointcloud-reco1-5.{FORMAT}', bbox_inches='tight', dpi=1000)
145
146 """
147 target = iter_pcd[-2]
148 ansatz = np.eye(4)
149 for pcd in [iter_pcd[-1], iter_pcd[0]]:
150     target, ansatz = alignPCD(pcd, target, down_sample=0.015, ansatz=ansatz)
151
152 """
153 fig, axs = plt.subplots(1, 3, figsize=(6,2))
154
155 for ang, ax in zip([0, -np.pi/2, np.pi], axs):
156     R = copy.deepcopy(target).get_rotation_matrix_from_xyz((ang, 0, 0))
157     points = np.asarray(copy.deepcopy(target).rotate(R, center=target.get_center()).points)
158     ax.scatter(points[:,1],points[:,0],c=points[:,2],cmap='winter',s=.1)
159     ax.axis('equal')
160     ax.axis('off')
161 plt.subplots_adjust(hspace=0, wspace=0)
162 plt.savefig(f'pointcloud-reco1-1.{FORMAT}', bbox_inches='tight', dpi=1000)
163
164 """
165 target.estimate_normals(search_param=o3d.geometry.KDTreeSearchParamHybrid(radius=0.05, max_nn
    =500))
166 target.orient_normals_consistent_tangent_plane(k=500)
167 c1, ind = target.remove_statistical_outlier(nb_neighbors = 20, std_ratio = 10)

```

```
168 target = target.select_by_index(ind)
169 target = target.voxel_down_sample(0.02)
170
171 # %% Alpha Shapes
172 tetra_mesh, pt_map = o3d.geometry.TetraMesh.create_from_point_cloud(pcd)
173 mesh = o3d.geometry.TriangleMesh.create_from_point_cloud_alpha_shape(pcd, 0.02, tetra_mesh,
    pt_map)
174 mesh.compute_vertex_normals()
175 o3d.io.write_triangle_mesh('alphaMesh.ply', mesh)
176 o3d.visualization.draw_geometries([mesh], mesh_show_back_face=True)
177
178 #%% Ball Pivoting
179 radii = np.linspace(0.001, 0.02, 5)
180 rec_mesh = o3d.geometry.TriangleMesh.create_from_point_cloud_ball_pivoting(
181     target, o3d.utility.DoubleVector(radii))
182 o3d.io.write_triangle_mesh('ballMesh.ply', mesh)
183 o3d.visualization.draw_geometries([rec_mesh])
184
185 #%% Poisson
186 with o3d.utility.VerboesityContextManager(o3d.utility.VerboesityLevel.Debug) as cm:
187     mesh, densities = o3d.geometry.TriangleMesh.create_from_point_cloud_poisson(target, depth
    =2)
188 o3d.io.write_triangle_mesh('poissonMesh.ply', mesh)
189 o3d.visualization.draw_geometries([mesh])
190
191 #%%
192 import trimesh
193 mesh = trimesh.load_mesh('alphaMesh.ply')
194 mesh.fix_normals()
195 trimesh.smoothing.filter_humphrey(mesh).subdivide().subdivide().show()
```

# Referências

AHO, A. V. Algorithms for finding patterns in strings. In: *Algorithms and Complexity*. Elsevier, 1990. p. 255–300. Disponível em: <<https://doi.org/10.1016/b978-0-444-88071-0.50010-2>>.

AMS OSRAM GROUP. *10-Bit 360° Programmable Magneti Rotary Encoder*. Tobelbader Strasse 30, 8141 Premstaetten, Austria-Europe, 2022. V3-00. Disponível em: <[https://ams.com/documents/20143/36005/AS5040\\_DS000374\\_5-00.pdf](https://ams.com/documents/20143/36005/AS5040_DS000374_5-00.pdf)>.

ANG, K. H.; CHONG, G.; LI, Y. Pid control system analysis, design, and technology. *IEEE transactions on control systems technology*, IEEE, v. 13, n. 4, p. 559–576, 2005.

ARDUINO. *Arduino Nano*. Via Andrea Appiani 25, 20900 MONZA MB, Italy, 2022. Disponível em: <<https://docs.arduino.cc/static/07bb0689db5f51912df3f8e53e625137/A000005-datasheet.pdf>>.

ATMEL. *8-bit AVR Microcontrollers*. 1600 Technology Drive, San Jose, CA 95110 USA, 2016. Disponível em: <<https://www.ic-components.hk/files/47/ATMEGA328-MU.pdf>>.

CANATA, T. F.; MOLIN, J. P.; SOUSA, R. V. de. A MEASUREMENT SYSTEM BASED ON LiDAR TECHNOLOGY TO CHARACTERIZE THE CANOPY OF SUGARCANE PLANTS. *Engenharia Agrícola*, FapUNIFESP (SciELO), v. 39, n. 2, p. 240–247, abr. 2019. Disponível em: <<https://doi.org/10.1590/1809-4430-eng.agric.v39n2p240-247/2019>>.

CRENGANIS, M.; BOLOGA, O. Pid controller for a differential steering mobile platform.

DIGNE, J. An analysis and implementation of a parallel ball pivoting algorithm. *Image Processing On Line*, v. 4, p. 149–168, 2014.

DUNKELS, A.; SCHMIDT, O.; VOIGT, T.; ALI, M. Protothreads. In: *Proceedings of the 4th international conference on Embedded networked sensor systems - SenSys '06*. ACM Press, 2006. Disponível em: <<https://doi.org/10.1145/1182807.1182811>>.

FILHO, A. S. de L.; ARAÚJO, A. E. P. de. Utilização de controle pid na robótica.

FRANCA, J.; GAZZIRO, M.; IDE, A.; SAITO, J. A 3d scanning system based on laser triangulation and variable field of view. In: *IEEE International Conference on Image Processing 2005*. IEEE, 2005. Disponível em: <<https://doi.org/10.1109/icip.2005.1529778>>.

FREEDMAN, D.; SMOLIN, Y.; KRUPKA, E.; LEICHTER, I.; SCHMIDT, M. Sra: Fast removal of general multipath for tof sensors. In: SPRINGER. *European Conference on Computer Vision*. [S.l.], 2014. p. 234–249.

GROETELAARS, N. J.; AMORÍN, A. Tecnologia 3d laser scanning: Características processos e ferramentas para manipulação de nuvens de pontos [3d laser scanning technology: characteristics, processes and point cloud tools]. CUMINCAD, 2011.

JIANG, Y.; YIN, S.; LI, K.; LUO, H.; KAYNAK, O. Industrial applications of digital twins. *Philosophical Transactions of the Royal Society A: Mathematical, Physical and Engineering Sciences*, The Royal Society, v. 379, n. 2207, p. 20200360, ago. 2021. Disponível em: <<https://doi.org/10.1098/rsta.2020.0360>>.

- KAZHDAN, M.; BOLITHO, M.; HOPPE, H. Poisson surface reconstruction. In: *Proceedings of the fourth Eurographics symposium on Geometry processing*. [S.l.: s.n.], 2006. v. 7.
- LI, Y.; IBANEZ-GUZMAN, J. Lidar for autonomous driving: The principles, challenges, and trends for automotive lidar and perception systems. *IEEE Signal Processing Magazine*, Institute of Electrical and Electronics Engineers (IEEE), v. 37, n. 4, p. 50–61, jul. 2020. Disponível em: <<https://doi.org/10.1109/msp.2020.2973615>>.
- MADUREIRA, D. Roupas da brasileira terá que respeitar biótipos 'retângulo' e 'colher'. Folha de São Paulo, 2021. Disponível em: <<https://www1.folha.uol.com.br/mercado/2021/12/roupa-da-brasileira-tera-que-respeitar-biotipos-retangulo-e-colher.shtml>>.
- MARGOLIS, M.; JEPSON, B.; WELDIN, N. R. *Arduino cookbook*. 3. ed. Sebastopol, CA: O'Reilly Media, 2020.
- MARIN, J. L. *Implementação de filtros digitais utilizando microcontroladores*. Tese (Doutorado) — Instituto Federal de Educação, Ciência e Tecnologia da Bahia, 2014.
- MATOS, B. G. G. d. *Controlador e accionador para motor DC em malha fechada*. Tese (Doutorado), 2008.
- OLIVEIRA, B. Q. de; FARIAS, J. L.; FERREIRA, R. K. P.; COSTA, T. A. d. O. L.; OLIVEIRA, I. N. de; FILHO, A. C. Tipos e aplicações de sensores na robótica. *Caderno de Graduação-Ciências Exatas e Tecnológicas-UNIT-ALAGOAS*, v. 4, n. 1, p. 223–223, 2017.
- RAJ, T.; HASHIM, F. H.; HUDDIN, A. B.; IBRAHIM, M. F.; HUSSAIN, A. A survey on lidar scanning mechanisms. *Electronics*, Multidisciplinary Digital Publishing Institute, v. 9, n. 5, p. 741, 2020.
- ROBÓTICA, G. de. Introdução ao arduino. *Notas de aula, Universidade Federal do Mato Grosso do Sul*, p. 10, 2012.
- SALMONY, P. *Accelerometers and Gyroscopes - Sensor Fusion #1 - Phil's Lab #33*. 2021. Disponível em: <<https://youtu.be/RZd6XDx5VXo>>.
- SALMONY, P. *Complementary Filter - Sensor Fusion #2 - Phil's Lab #34*. 2021. Disponível em: <<https://youtu.be/BUW2OdAtzBw>>.
- SALMONY, P. *Extended Kalman Filter - Sensor Fusion #3 - Phil's Lab #37*. 2021. Disponível em: <<https://youtu.be/hQUkiC5o0JI>>.
- SHILOH, M.; BANZI, M. *Getting started with arduino 4e*. Sebastopol, CA: Maker Media, 2022.
- SIERRA, I. de S.; OKIMOTO, M. L. Proposta de protocolo de análise da malha escaneada (map). *Design e Tecnologia*, v. 11, n. 22, p. 83–92, 2021.
- SOBOLEWSKI, J. S. *Cyclic Redundancy Check*. GBR: John Wiley and Sons Ltd., 2003. 476479 p. ISBN 0470864125.
- TAUBIN, G.; MORENO, D.; LANMAN, D. 3d scanning for personal 3d printing. In: *ACM SIGGRAPH 2014 Studio on - SIGGRAPH '14*. ACM Press, 2014. Disponível em: <<https://doi.org/10.1145/2619195.2656314>>.

---

TEICHMANN, M.; CAPPS, M. Surface reconstruction with anisotropic density-scaled alpha shapes. In: IEEE. *Proceedings Visualization'98 (Cat. No. 98CB36276)*. [S.l.], 1998. p. 67–72.